

第 416 回 地震調査委員会資料

〈 目 次 〉

◆ 広帯域地震計を用いたモーメントテンソル解析結果（2025年6月01日-6月30日）	2
◆ 紀伊半島・東海地域の深部低周波微動活動状況（2025年6月）	16
◆ 四国の深部低周波微動活動状況（2025年6月）	17
◆ 四国西部の短期的スロースリップ活動状況（2025年6月）	18
◆ 日向灘及びその周辺における超低周波地震活動（2025年5-6月）	19
◆ 山口県北部の地震活動に伴う傾斜変動	20
◆ 令和7年トカラ列島近海の地震（F-netによるメカニズム解）	21

令和7年7月9日



国立研究開発法人

防災科学技術研究所

National Research Institute for Earth Science and Disaster Resilience

広帯域地震計を用いたモーメントテンソル解析結果
(2025年06月01日-06月30日)

国立研究開発法人 防災科学技術研究所

期間中のイベント数: 197

・千島列島

- 53) 千島列島 (06/16 13:06 Mw4.6 H₁₇km VR68.67/3) 西北西—東南東圧縮の逆断層
175) 千島列島 (06/29 12:46 Mw4.1 H₄₄km VR63.74/3) 西北西—東南東方向に圧縮軸を持つ型

・北海道地方

- 7) 十勝沖 (06/02 03:51 Mw6.0 H₂₆km VR83.22/3) 北西—南東圧縮の逆断層
14) 十勝沖 (06/03 22:18 Mw5.2 H₃₂km VR72.56/3) 北西—南東圧縮の逆断層
23) 釧路沖 (06/05 04:55 Mw4.4 H₂₆km VR87.47/3) 北西—南東圧縮の逆断層
41) 釧路沖 (06/11 18:30 Mw4.5 H₃₅km VR84.09/3) 北西—南東圧縮の逆断層
65) 根室半島南東沖 (06/19 08:08 Mw5.8 H₂₆km VR82.72/3) 北西—南東圧縮の逆断層
74) 択捉島付近 (06/21 05:26 Mw4.3 H₃₈km VR59.78/3) 北西—南東方向に圧縮軸を持つ型
80) 根室半島南東沖 (06/22 00:05 Mw4.9 H₂₃km VR78.98/3) 北西—南東圧縮の逆断層
87) 根室半島南東沖 (06/22 06:23 Mw6.0 H₂₃km VR77.10/3) 北西—南東圧縮の逆断層
91) 根室半島南東沖 (06/22 11:11 Mw4.0 H₃₂km VR84.87/3) 北西—南東圧縮の逆断層
139) 釧路沖 (06/24 02:55 Mw4.6 H₃₂km VR79.32/3) 西北西—東南東圧縮の逆断層
164) 根室半島南東沖 (06/27 18:44 Mw4.2 H₃₈km VR82.38/3) 西北西—東南東圧縮の逆断層
169) 根室半島南東沖 (06/29 08:15 Mw4.1 H₁₇km VR67.45/3) 北西—南東圧縮の逆断層

・東北地方

- 6) 福島県沖 (06/01 21:55 Mw4.1 H₈km VR71.65/3) 西北西—東南東伸張の正断層
10) 宮城県沖 (06/02 11:31 Mw4.3 H₁₇km VR91.87/3) 北西—南東方向に圧縮軸を持つ型
11) 宮城県沖 (06/02 15:46 Mw4.3 H₆₂km VR87.76/3) 東西圧縮の逆断層
15) 宮城県沖 (06/04 00:15 Mw4.0 H₅₆km VR88.58/3) 北西—南東圧縮の逆断層
27) 福島県沖 (06/05 23:51 Mw4.4 H₆₅km VR90.90/3) 東西圧縮の横ずれ断層
30) 青森県東方沖 (06/07 14:40 Mw4.4 H₄₄km VR75.43/3) 西北西—東南東圧縮の逆断層
38) 福島県会津地方 (06/11 03:14 Mw4.0 H₁₁₃km VR90.85/3) 北西—南東圧縮の逆断層
49) 宮城県沖 (06/14 19:46 Mw5.0 H₄₁km VR93.42/3) 西北西—東南東圧縮の逆断層
66) 青森県東方沖 (06/19 10:53 Mw4.0 H₄₇km VR73.79/3) 東西方向に圧縮軸を持つ型

・関東・中部地方

- 28) 能登半島沖 (06/06 13:48 Mw4.2 H₅km VR91.08/3) 西北西—東南東圧縮の逆断層
33) 福井県沖 (06/07 23:46 Mw4.0 H₃₆₀km VR75.63/3) 北東—南西方向に圧縮軸を持つ型
48) 千葉県北西部 (06/13 15:18 Mw4.2 H₆₈km VR88.05/3) 西北西—東南東方向に伸長軸を持つ型
152) 茨城県北部 (06/25 13:51 Mw4.1 H₅₉km VR89.85/3) 西北西—東南東圧縮の逆断層
156) 関東東方沖 (06/25 18:08 Mw4.5 H₅km VR91.41/3) 西北西—東南東伸張の正断層
162) 茨城県北部 (06/27 08:56 Mw4.3 H₆₂km VR95.00/3) 西北西—東南東圧縮の逆断層

・小笠原地方

- 18) 鳥島近海 (06/04 11:39 Mw4.4 H₁₂₂km VR55.48/3) 東北東—西南西伸張の横ずれ断層
68) 八丈島近海 (06/19 16:37 Mw4.5 H₁₁km VR87.90/3) 東西伸張の横ずれ断層

・東海道沖

46) 東海道沖	(06/12 12:49 Mw4.9 H_8km VR89.58/3) 北北西—南南東圧縮の逆断層
73) 東海道沖	(06/21 03:09 Mw4.4 H400km VR61.73/3) 北西—南東方向に圧縮軸を持つ型
192) 東海道沖	(06/30 13:32 Mw4.3 H360km VR91.06/3) 北西—南東方向に圧縮軸を持つ型
・中国・四国地方	
36) 四国沖	(06/10 09:40 Mw4.0 H_29km VR83.47/3) 北北東—南南西圧縮の逆断層
・九州地方	
13) 豊後水道	(06/03 20:17 Mw4.3 H_44km VR90.96/3) 東西伸張の正断層
20) 奄美大島近海	(06/05 01:44 Mw4.1 H_23km VR71.15/3) 西北西—東南東方向に圧縮軸を持つ型
21) 奄美大島近海	(06/05 01:49 Mw4.2 H_29km VR77.12/3) 南北圧縮の逆断層
60) 日向灘	(06/18 21:30 Mw4.8 H_32km VR72.40/3) 西北西—東南東方向に圧縮軸を持つ型
69) 奄美大島近海	(06/19 17:45 Mw4.2 H_41km VR78.77/3) 東西圧縮の逆断層
78) 奄美大島近海	(06/21 23:10 Mw4.5 H_5km VR90.05/3) 北西—南東方向に伸長軸を持つ型
79) 奄美大島近海	(06/21 23:31 Mw4.3 H_8km VR90.92/3) 北西—南東方向に伸長軸を持つ型
81) 奄美大島近海	(06/22 02:19 Mw4.0 H_8km VR93.07/3) 北北西—南南東方向に伸長軸を持つ型
82) 奄美大島近海	(06/22 02:52 Mw4.7 H_5km VR91.16/3) 北西—南東方向に伸長軸を持つ型
84) 奄美大島近海	(06/22 05:24 Mw4.5 H_5km VR68.39/3) 北西—南東方向に伸長軸を持つ型
85) 奄美大島近海	(06/22 05:25 Mw4.5 H_5km VR70.50/3) 北北西—南南東方向に伸長軸を持つ型
86) 奄美大島近海	(06/22 05:53 Mw4.9 H_5km VR93.01/3) 北西—南東方向に伸長軸を持つ型
88) 奄美大島近海	(06/22 07:27 Mw4.6 H_5km VR62.44/3) 北西—南東方向に伸長軸を持つ型
89) 奄美大島近海	(06/22 09:15 Mw4.8 H_5km VR92.75/3) 北西—南東方向に伸長軸を持つ型
93) 奄美大島近海	(06/22 12:12 Mw4.8 H_5km VR93.21/3) 北西—南東方向に伸長軸を持つ型
94) 奄美大島近海	(06/22 12:37 Mw4.5 H_8km VR80.73/3) 北北西—南南東方向に伸長軸を持つ型
95) 奄美大島近海	(06/22 12:43 Mw4.2 H_5km VR89.07/3) 北北西—南南東方向に伸長軸を持つ型
96) 奄美大島近海	(06/22 13:37 Mw4.3 H_5km VR85.45/3) 北西—南東方向に伸長軸を持つ型
97) 奄美大島近海	(06/22 13:50 Mw4.1 H_5km VR61.09/3) 北西—南東方向に伸長軸を持つ型
98) 奄美大島近海	(06/22 14:27 Mw4.5 H_5km VR87.88/3) 北北西—南南東方向に伸長軸を持つ型
99) 奄美大島近海	(06/22 17:15 Mw5.2 H_5km VR88.99/3) 北西—南東方向に伸長軸を持つ型
100) 奄美大島近海	(06/22 17:29 Mw4.5 H_5km VR88.31/3) 北西—南東方向に伸長軸を持つ型
101) 奄美大島近海	(06/22 17:45 Mw4.3 H_5km VR66.96/3) 北西—南東方向に伸長軸を持つ型
102) 奄美大島近海	(06/22 17:57 Mw4.5 H_5km VR87.93/3) 北西—南東方向に伸長軸を持つ型
103) 奄美大島近海	(06/22 18:11 Mw4.5 H_29km VR69.67/3) 東西方向に圧縮軸を持つ型
105) 奄美大島近海	(06/22 19:51 Mw4.0 H_5km VR75.69/3) 北北西—南南東方向に伸長軸を持つ型
106) 奄美大島近海	(06/22 20:08 Mw4.5 H_5km VR86.05/3) 北西—南東方向に伸長軸を持つ型
110) 奄美大島近海	(06/23 00:00 Mw4.1 H_5km VR93.71/3) 北西—南東方向に伸長軸を持つ型
111) 奄美大島近海	(06/23 00:15 Mw4.3 H_5km VR85.34/3) 北北西—南南東方向に伸長軸を持つ型
112) 奄美大島近海	(06/23 00:22 Mw4.0 H_5km VR90.26/3) 北西—南東方向に伸長軸を持つ型
114) 奄美大島近海	(06/23 02:34 Mw4.2 H_5km VR80.79/3) 北西—南東方向に伸長軸を持つ型
116) 奄美大島近海	(06/23 03:32 Mw4.8 H_5km VR92.47/3) 北西—南東方向に伸長軸を持つ型
117) 奄美大島近海	(06/23 05:41 Mw4.3 H_5km VR88.69/3) 北西—南東方向に伸長軸を持つ型
118) 奄美大島近海	(06/23 06:06 Mw4.3 H_5km VR91.51/3) 北西—南東方向に伸長軸を持つ型
119) 奄美大島近海	(06/23 06:22 Mw4.5 H_5km VR91.35/3) 北西—南東方向に伸長軸を持つ型

120) 奄美大島近海	(06/23 09:06 Mw4.2 H_5km VR68.94/3) 北西—南東方向に伸長軸を持つ型
121) 奄美大島近海	(06/23 10:13 Mw4.9 H_5km VR90.75/3) 北西—南東方向に伸長軸を持つ型
122) 奄美大島近海	(06/23 11:07 Mw4.2 H_5km VR72.32/3) 北西—南東方向に伸長軸を持つ型
123) 奄美大島近海	(06/23 11:10 Mw4.1 H_5km VR82.55/3) 北北西—南南東方向に伸長軸を持つ型
124) 奄美大島近海	(06/23 12:32 Mw4.5 H_5km VR86.74/3) 北西—南東方向に伸長軸を持つ型
125) 奄美大島近海	(06/23 13:24 Mw4.2 H_5km VR79.13/3) 北西—南東方向に伸長軸を持つ型
126) 奄美大島近海	(06/23 13:45 Mw4.4 H_5km VR90.28/3) 北西—南東方向に伸長軸を持つ型
127) 奄美大島近海	(06/23 16:19 Mw4.5 H_5km VR92.55/3) 北西—南東方向に伸長軸を持つ型
128) 奄美大島近海	(06/23 16:46 Mw5.0 H_5km VR89.35/3) 北西—南東方向に伸長軸を持つ型
129) 奄美大島近海	(06/23 17:48 Mw4.2 H_5km VR72.28/3) 北西—南東方向に伸長軸を持つ型
131) 奄美大島近海	(06/23 19:14 Mw4.0 H_5km VR83.25/3) 北西—南東方向に伸長軸を持つ型
132) 奄美大島近海	(06/23 22:40 Mw4.3 H_5km VR84.71/3) 北西—南東方向に伸長軸を持つ型
133) 奄美大島近海	(06/23 22:45 Mw4.2 H_5km VR86.85/3) 北西—南東方向に伸長軸を持つ型
134) 奄美大島近海	(06/23 23:17 Mw4.5 H_5km VR90.73/3) 北西—南東方向に伸長軸を持つ型
135) 奄美大島近海	(06/23 23:36 Mw5.2 H_5km VR89.28/3) 北北西—南南東方向に伸長軸を持つ型
136) 奄美大島近海	(06/23 23:46 Mw4.3 H_5km VR62.73/3) 北北西—南南東方向に伸長軸を持つ型
137) 奄美大島近海	(06/24 00:08 Mw4.3 H_5km VR88.59/3) 北西—南東方向に伸長軸を持つ型
138) 奄美大島近海	(06/24 02:23 Mw5.2 H_5km VR93.07/3) 北西—南東方向に伸長軸を持つ型
141) 奄美大島近海	(06/24 08:40 Mw4.2 H_5km VR79.68/3) 北西—南東方向に伸長軸を持つ型
142) 奄美大島近海	(06/24 16:04 Mw5.2 H_5km VR89.89/3) 北北西—南南東方向に伸長軸を持つ型
143) 奄美大島近海	(06/24 16:54 Mw4.7 H_5km VR88.00/3) 北西—南東方向に伸長軸を持つ型
144) 奄美大島近海	(06/24 22:03 Mw4.2 H_5km VR89.60/3) 北西—南東方向に伸長軸を持つ型
145) 奄美大島近海	(06/25 00:11 Mw4.0 H_8km VR92.48/3) 北西—南東方向に伸長軸を持つ型
146) 奄美大島近海	(06/25 00:40 Mw4.0 H_5km VR88.81/3) 北北西—南南東方向に伸長軸を持つ型
149) 奄美大島近海	(06/25 05:49 Mw4.0 H_5km VR82.53/3) 北西—南東方向に伸長軸を持つ型
150) 奄美大島近海	(06/25 09:45 Mw4.1 H_20km VR72.85/3) 北西—南東圧縮の逆断層
154) 奄美大島近海	(06/25 14:47 Mw4.7 H_5km VR92.79/3) 北西—南東方向に伸長軸を持つ型
155) 奄美大島近海	(06/25 14:59 Mw4.2 H_5km VR93.19/3) 北西—南東方向に伸長軸を持つ型
157) 奄美大島近海	(06/25 19:39 Mw4.3 H_5km VR80.10/3) 北北東—南南西伸張の正断層
158) 奄美大島近海	(06/25 20:34 Mw4.0 H_11km VR63.73/3) 北西—南東方向に伸長軸を持つ型
159) 奄美大島近海	(06/26 10:48 Mw4.1 H_8km VR89.10/3) 北西—南東方向に伸長軸を持つ型
163) 奄美大島近海	(06/27 13:17 Mw4.8 H_5km VR87.14/3) 北西—南東方向に伸長軸を持つ型
165) 奄美大島近海	(06/27 22:52 Mw4.1 H_8km VR89.81/3) 北北西—南南東方向に伸長軸を持つ型
166) 奄美大島近海	(06/28 09:15 Mw4.5 H_8km VR88.60/3) 北西—南東方向に伸長軸を持つ型
167) 奄美大島近海	(06/28 11:12 Mw4.5 H_8km VR88.91/3) 北西—南東方向に伸長軸を持つ型
168) 奄美大島近海	(06/28 13:54 Mw4.4 H_8km VR87.45/3) 北西—南東方向に伸長軸を持つ型
171) 奄美大島近海	(06/29 10:13 Mw4.9 H_8km VR60.61/3) 北西—南東方向に伸長軸を持つ型
172) 奄美大島近海	(06/29 10:15 Mw5.4 H_5km VR86.62/3) 北北西—南南東方向に伸長軸を持つ型
173) 奄美大島近海	(06/29 10:28 Mw4.4 H_20km VR64.02/3) 北北西—南南東方向に伸長軸を持つ型
174) 奄美大島近海	(06/29 11:36 Mw4.6 H_8km VR90.69/3) 北北西—南南東方向に伸長軸を持つ型
176) 奄美大島近海	(06/29 13:30 Mw4.3 H_8km VR85.57/3) 北北西—南南東方向に伸長軸を持つ型

177) 奄美大島近海	(06/29 14:42 Mw4.0 H_8km VR60.85/3) 北西—南東方向に伸長軸を持つ型
178) 奄美大島近海	(06/29 14:52 Mw4.2 H_5km VR83.42/3) 北西—南東方向に伸長軸を持つ型
179) 奄美大島近海	(06/29 15:12 Mw4.2 H_5km VR85.63/3) 北北西—南南東方向に伸長軸を持つ型
180) 奄美大島近海	(06/29 16:11 Mw5.2 H_5km VR86.84/3) 北西—南東方向に伸長軸を持つ型
181) 奄美大島近海	(06/29 16:32 Mw4.3 H_5km VR79.52/3) 北西—南東方向に伸長軸を持つ型
182) 奄美大島近海	(06/29 16:56 Mw4.3 H_8km VR90.40/3) 北北西—南南東伸張の横ずれ断層
183) 奄美大島近海	(06/29 18:07 Mw4.3 H_5km VR86.17/3) 北西—南東方向に伸長軸を持つ型
184) 奄美大島近海	(06/29 19:39 Mw4.1 H_11km VR89.60/3) 北北西—南南東方向に伸長軸を持つ型
185) 奄美大島近海	(06/29 20:16 Mw4.2 H_8km VR86.47/3) 北北西—南南東方向に伸長軸を持つ型
187) 奄美大島近海	(06/29 22:36 Mw4.4 H_8km VR85.87/3) 北西—南東伸張の正断層
188) 奄美大島近海	(06/30 00:31 Mw4.1 H_8km VR84.22/3) 北西—南東伸張の正断層
189) 奄美大島近海	(06/30 02:58 Mw4.4 H_8km VR90.96/3) 北北西—南南東方向に伸長軸を持つ型
190) 奄美大島近海	(06/30 10:17 Mw4.0 H_5km VR85.26/3) 北北西—南南東方向に伸長軸を持つ型
191) 奄美大島近海	(06/30 12:36 Mw4.7 H_5km VR91.29/3) 北北西—南南東伸張の横ずれ断層
195) 奄美大島近海	(06/30 18:33 Mw5.2 H_8km VR83.90/3) 北西—南東伸張の正断層
196) 奄美大島近海	(06/30 19:27 Mw4.2 H_5km VR89.53/3) 北北西—南南東方向に伸長軸を持つ型
・沖縄地方	
16) 台湾付近	(06/04 01:17 Mw4.3 H_8km VR76.04/2) 北西—南東方向に圧縮軸を持つ型
31) 石垣島近海	(06/07 17:26 Mw4.0 H125km VR59.39/2) 東西伸張の正断層
43) 台湾付近	(06/11 20:00 Mw5.8 H_44km VR76.01/2) 西北西—東南東圧縮の逆断層
45) 台湾付近	(06/12 01:01 Mw4.4 H_41km VR81.56/2) 東西方向に圧縮軸を持つ型
50) 台湾付近	(06/16 00:43 Mw4.0 H_23km VR83.98/2) 西北西—東南東方向に伸長軸を持つ型
140) 台湾付近	(06/24 03:00 Mw4.4 H_23km VR73.36/2) 北東—南西方向に圧縮軸を持つ型
193) 台湾付近	(06/30 17:22 Mw4.2 H_17km VR65.44/2) 東西圧縮の横ずれ断層
194) 台湾付近	(06/30 17:26 Mw4.1 H_8km VR65.63/2) 東西圧縮の逆断層

*Mw4.0以上をリストアップ.

**下線部はMw5.0以上を示す.

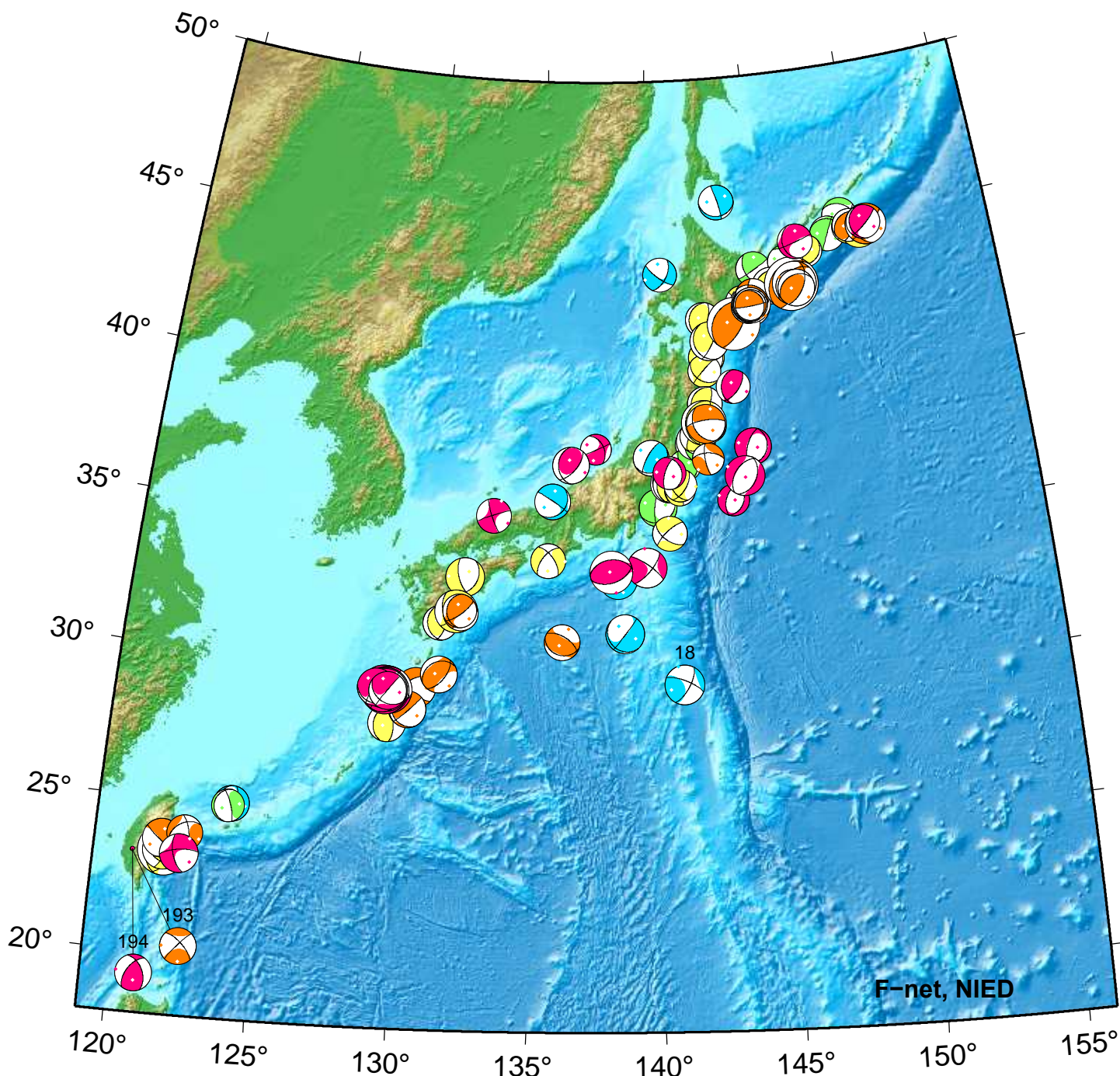
***”VR”欄の”/”の後の数は解析に使用した観測点数を示す.

***断層タイプの分類はFrohlich [1992]による.

謝辞 地形データは海上保安庁のものを使用させて頂きました. 記して感謝いたします

NIED Moment Tensor Solutions

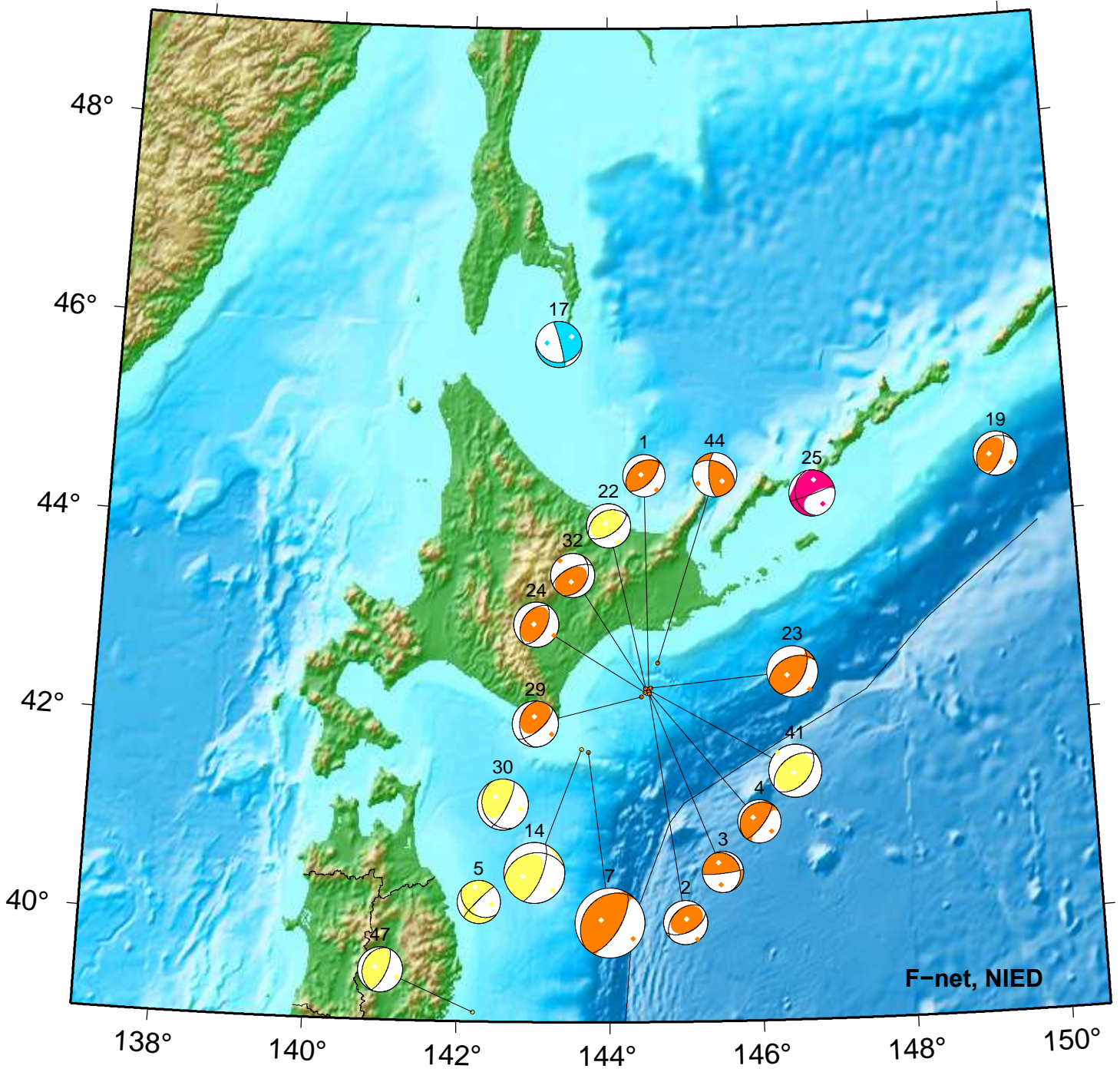
Jun 01, 2025–Jun 30, 2025(JST)



18. 06/04 11:39 Mw4.4 H122km VR55.5 193. 06/30 17:22 Mw4.2 H_17km VR65.4 194. 06/30 17:26 Mw4.1 H__8km VR65.6

Hokkaido

Jun 01,2025–Jun 15,2025(JST)



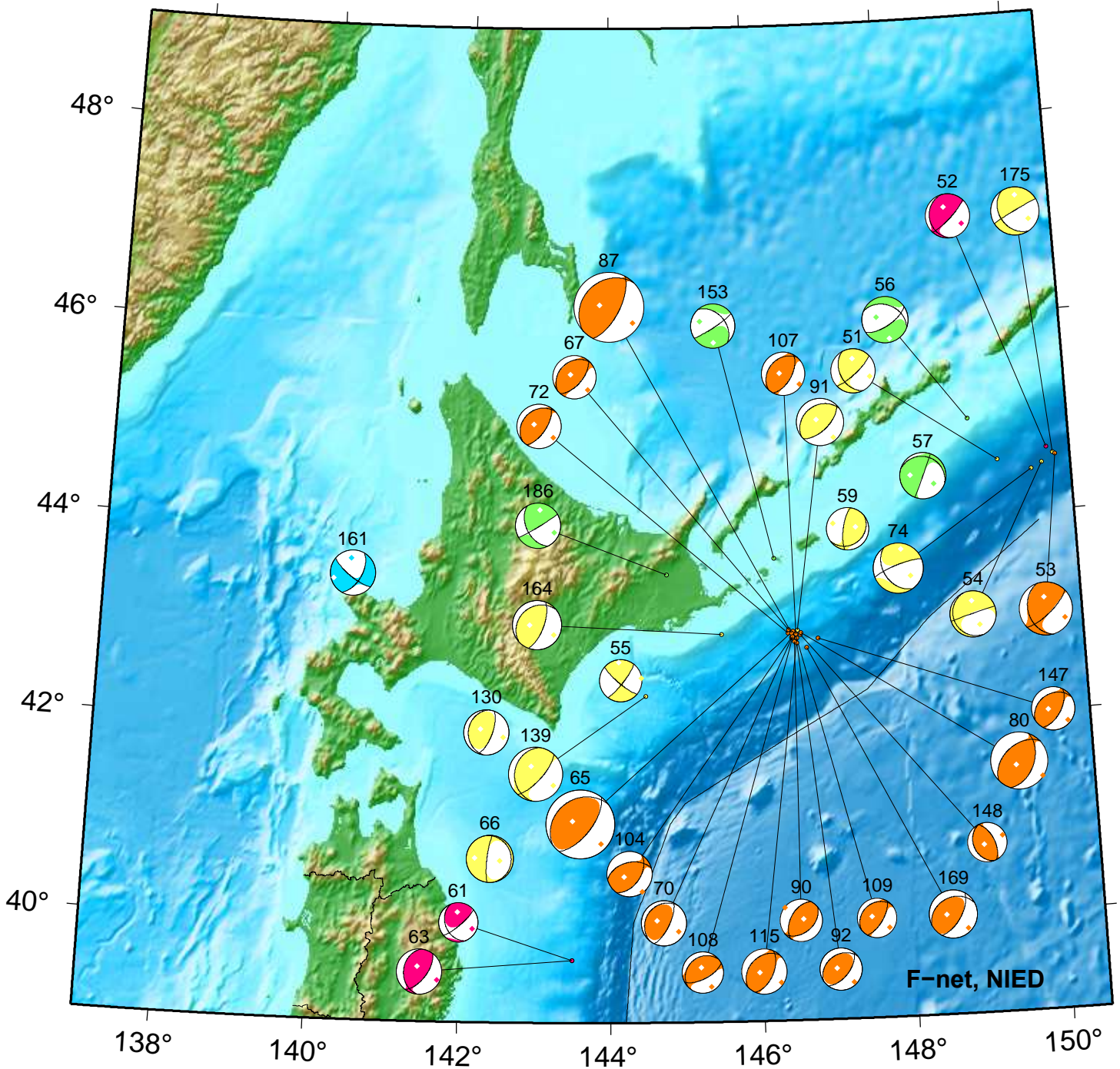
F-net, NIED



- | | | |
|-------------------------------------|-------------------------------------|-------------------------------------|
| 1. 06/01 03:48 Mw3.6 H_26km VR78.4 | 17. 06/04 03:37 Mw3.9 H360km VR71.0 | 30. 06/07 14:40 Mw4.4 H_44km VR75.4 |
| 2. 06/01 06:36 Mw3.8 H_23km VR61.9 | 19. 06/04 16:18 Mw3.7 H_20km VR60.5 | 32. 06/07 20:08 Mw3.8 H_23km VR71.1 |
| 3. 06/01 13:41 Mw3.5 H_17km VR71.6 | 22. 06/05 04:20 Mw3.7 H_32km VR76.6 | 41. 06/11 18:30 Mw4.5 H_35km VR84.1 |
| 4. 06/01 20:25 Mw3.7 H_26km VR82.2 | 23. 06/05 04:55 Mw4.4 H_26km VR87.5 | 44. 06/12 00:21 Mw3.8 H_23km VR65.0 |
| 5. 06/01 21:09 Mw3.7 H_44km VR84.8 | 24. 06/05 05:18 Mw3.8 H_23km VR82.5 | 47. 06/13 03:02 Mw3.9 H_44km VR89.9 |
| 7. 06/02 03:51 Mw6.0 H_26km VR83.2 | 25. 06/05 06:29 Mw3.9 H_5km VR79.2 | |
| 14. 06/03 22:18 Mw5.2 H_32km VR72.6 | 29. 06/07 05:35 Mw3.9 H_26km VR63.2 | |

Hokkaido

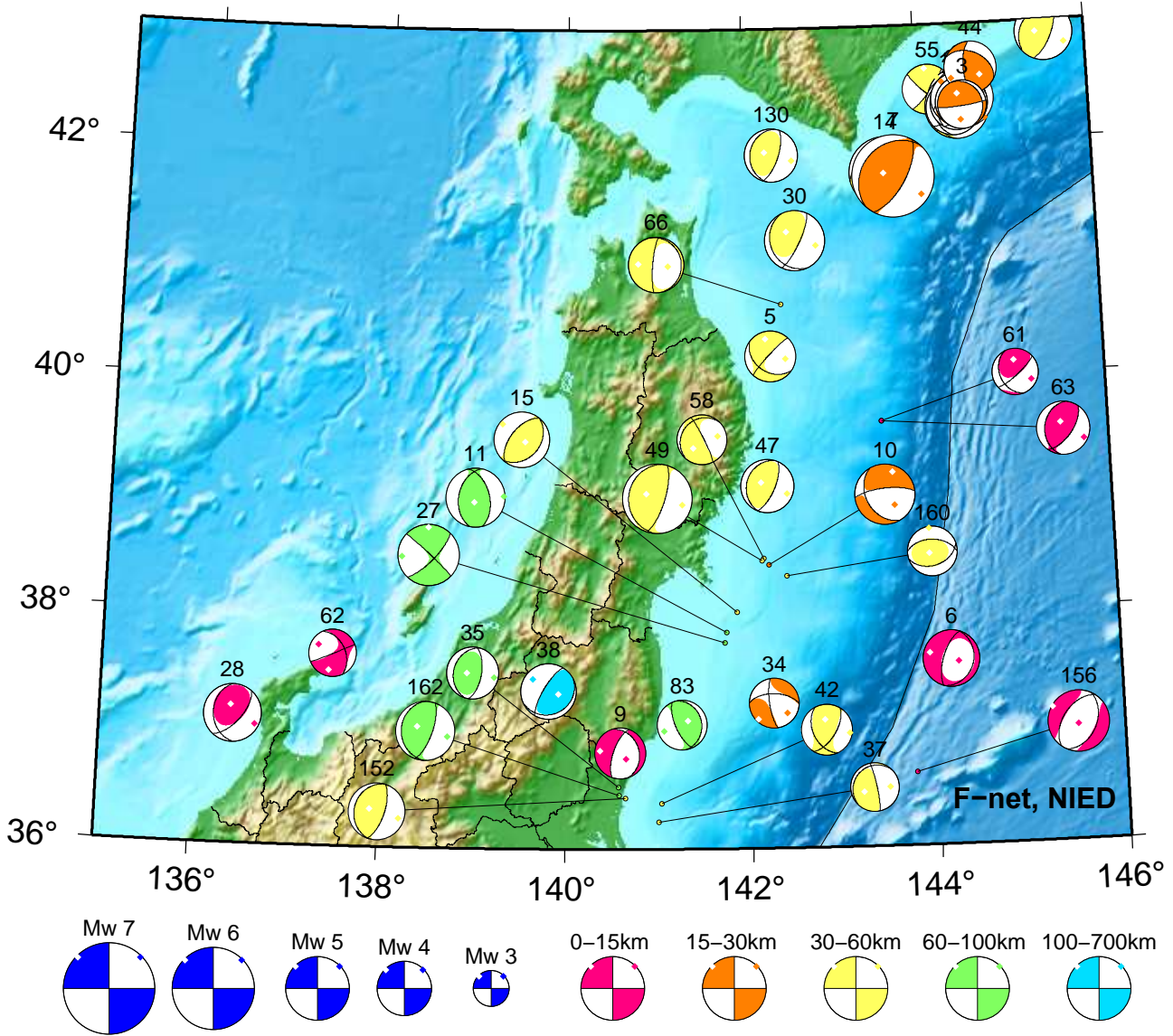
Jun 16,2025–Jun 30,2025(JST)



51. 06/16 11:43 Mw3.8 H_41km VR56.9	67. 06/19 11:35 Mw3.7 H_26km VR54.4	109. 06/22 22:45 Mw3.4 H_26km VR58.4
52. 06/16 12:12 Mw3.8 H_11km VR62.2	70. 06/20 01:22 Mw3.9 H_23km VR78.0	115. 06/23 03:04 Mw3.9 H_29km VR82.9
53. 06/16 13:06 Mw4.6 H_17km VR68.7	72. 06/21 01:37 Mw3.8 H_26km VR87.2	130. 06/23 18:40 Mw3.9 H_59km VR78.4
54. 06/16 17:47 Mw3.9 H_50km VR62.6	74. 06/21 05:26 Mw4.3 H_38km VR59.8	139. 06/24 02:55 Mw4.6 H_32km VR79.3
55. 06/16 18:56 Mw3.6 H_47km VR74.4	80. 06/22 00:05 Mw4.9 H_23km VR79.0	147. 06/25 02:28 Mw3.7 H_23km VR75.4
56. 06/17 08:45 Mw3.9 H_80km VR59.1	87. 06/22 06:23 Mw6.0 H_23km VR77.1	148. 06/25 04:13 Mw3.4 H_26km VR64.9
57. 06/18 01:26 Mw3.9 H_68km VR69.4	90. 06/22 10:44 Mw3.6 H_20km VR72.3	153. 06/25 14:19 Mw3.8 H_71km VR74.4
59. 06/18 11:32 Mw3.6 H_59km VR59.3	91. 06/22 11:11 Mw4.0 H_32km VR84.9	161. 06/26 21:11 Mw3.8 H_170km VR75.3
61. 06/18 22:50 Mw3.4 H_14km VR55.6	92. 06/22 11:52 Mw3.6 H_23km VR69.6	164. 06/27 18:44 Mw4.2 H_38km VR82.4
63. 06/19 00:04 Mw3.9 H_14km VR82.6	104. 06/22 19:06 Mw3.9 H_26km VR84.2	169. 06/29 08:15 Mw4.1 H_17km VR67.5
65. 06/19 08:08 Mw5.8 H_26km VR82.7	107. 06/22 21:30 Mw3.7 H_26km VR70.1	175. 06/29 12:46 Mw4.1 H_44km VR63.7
66. 06/19 10:53 Mw4.0 H_47km VR73.8	108. 06/22 21:37 Mw3.5 H_23km VR64.1	186. 06/29 20:26 Mw3.9 H_92km VR71.9

Tohoku

Jun 01,2025-Jun 30,2025(JST)

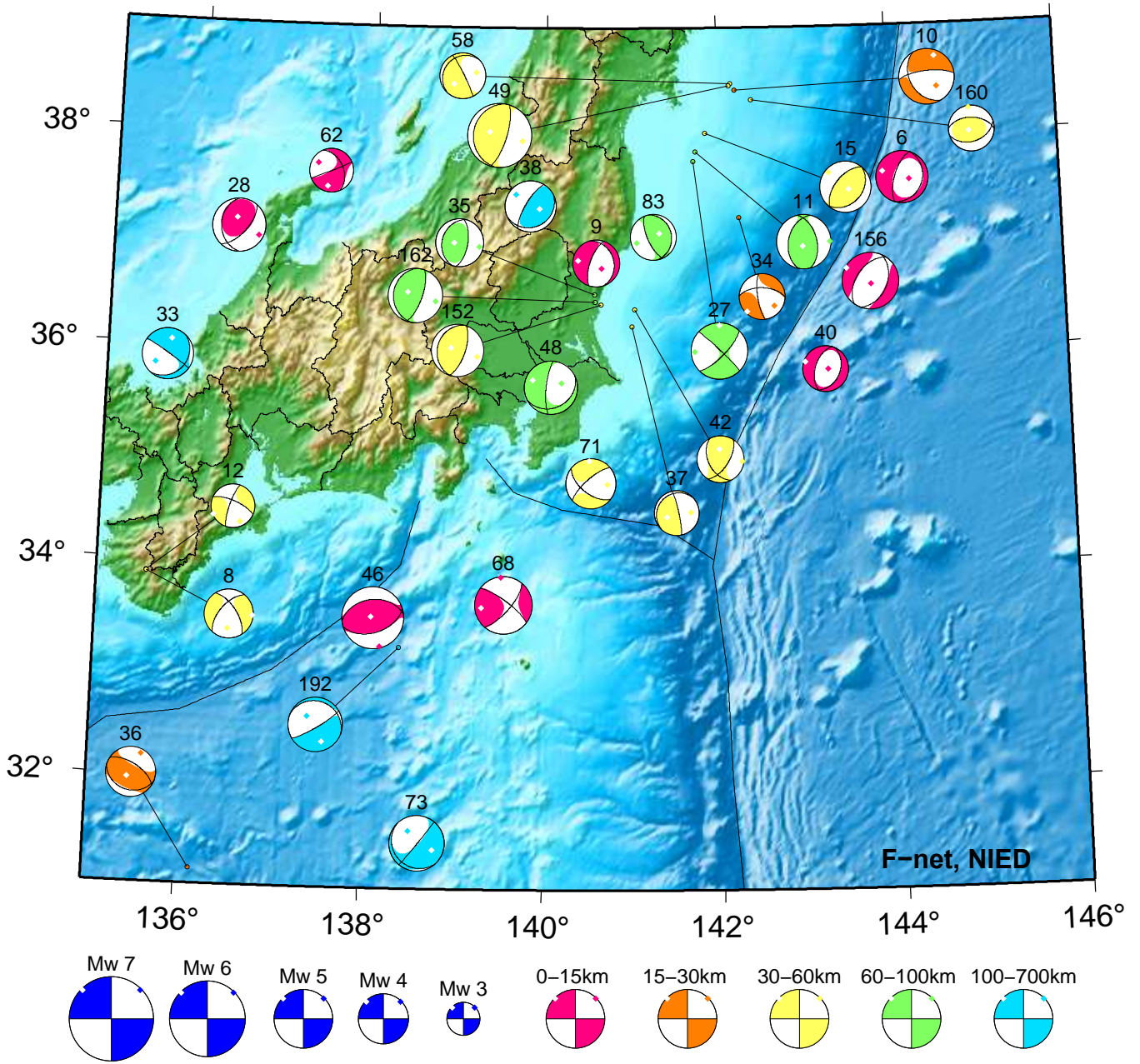


※十勝沖・釧路沖付近の震源域の活動については、メカニズム解を震源域の外に引き出していない。

- | | | |
|-------------------------------------|--------------------------------------|--------------------------------------|
| 1. 06/01 03:48 Mw3.6 H_26km VR78.4 | 27. 06/05 23:51 Mw4.4 H_65km VR90.9 | 58. 06/18 03:30 Mw3.6 H_44km VR82.9 |
| 2. 06/01 06:36 Mw3.8 H_23km VR61.9 | 28. 06/06 13:48 Mw4.2 H_5km VR91.1 | 61. 06/18 22:50 Mw3.4 H_14km VR55.6 |
| 3. 06/01 13:41 Mw3.5 H_17km VR71.6 | 29. 06/07 05:35 Mw3.9 H_26km VR63.2 | 62. 06/18 23:44 Mw3.4 H_5km VR81.0 |
| 4. 06/01 20:25 Mw3.7 H_26km VR82.2 | 30. 06/07 14:40 Mw4.4 H_44km VR75.4 | 63. 06/19 00:04 Mw3.9 H_14km VR82.6 |
| 5. 06/01 21:09 Mw3.7 H_44km VR84.8 | 32. 06/07 20:08 Mw3.8 H_23km VR71.1 | 66. 06/19 10:53 Mw4.0 H_47km VR73.8 |
| 6. 06/01 21:55 Mw4.1 H_8km VR71.7 | 34. 06/08 02:16 Mw3.6 H_26km VR79.1 | 83. 06/22 04:13 Mw3.6 H_65km VR66.1 |
| 7. 06/02 03:51 Mw6.0 H_26km VR83.2 | 35. 06/08 18:58 Mw3.8 H_62km VR62.0 | 130. 06/23 18:40 Mw3.9 H_59km VR78.4 |
| 9. 06/02 09:56 Mw3.7 H_8km VR75.1 | 37. 06/10 23:19 Mw3.5 H_44km VR71.1 | 139. 06/24 02:55 Mw4.6 H_32km VR79.3 |
| 10. 06/02 11:31 Mw4.3 H_17km VR91.9 | 38. 06/11 03:14 Mw4.0 H_113km VR90.8 | 152. 06/25 13:51 Mw4.1 H_59km VR89.8 |
| 11. 06/02 15:46 Mw4.3 H_62km VR87.8 | 41. 06/11 18:30 Mw4.5 H_35km VR84.1 | 156. 06/25 18:08 Mw4.5 H_5km VR91.4 |
| 14. 06/03 22:18 Mw5.2 H_32km VR72.6 | 42. 06/11 19:44 Mw3.7 H_44km VR78.2 | 160. 06/26 16:29 Mw3.6 H_44km VR74.8 |
| 15. 06/04 00:15 Mw4.0 H_56km VR88.6 | 44. 06/12 00:21 Mw3.8 H_23km VR65.0 | 162. 06/27 08:56 Mw4.3 H_62km VR95.0 |
| 22. 06/05 04:20 Mw3.7 H_32km VR76.6 | 47. 06/13 03:02 Mw3.9 H_44km VR89.9 | 164. 06/27 18:44 Mw4.2 H_38km VR82.4 |
| 23. 06/05 04:55 Mw4.4 H_26km VR87.5 | 49. 06/14 19:46 Mw5.0 H_41km VR93.4 | |
| 24. 06/05 05:18 Mw3.8 H_23km VR82.5 | 55. 06/16 18:56 Mw3.6 H_47km VR74.4 | |

Kanto-Chubu

Jun 01,2025-Jun 30,2025(JST)



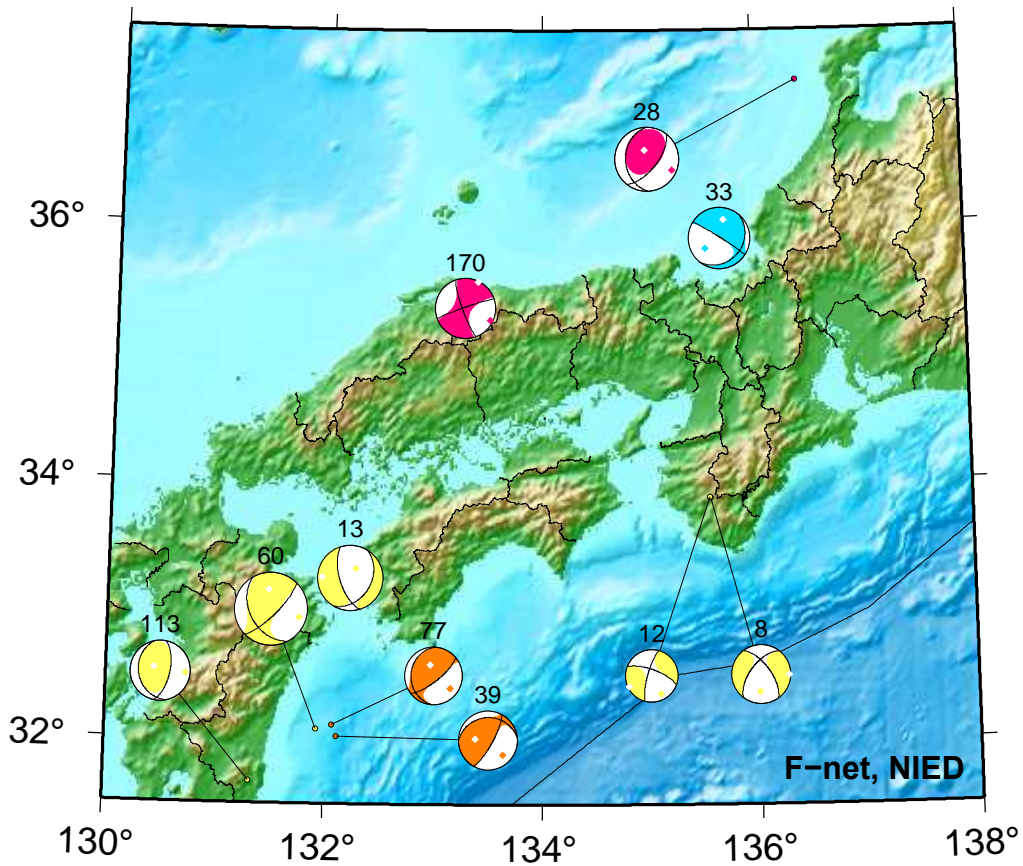
6. 06/01 21:55 Mw4.1 H_8km VR71.7
 8. 06/02 08:50 Mw3.9 H_53km VR87.2
 9. 06/02 09:56 Mw3.7 H_8km VR75.1
 10. 06/02 11:31 Mw4.3 H_17km VR91.9
 11. 06/02 15:46 Mw4.3 H_62km VR87.8
 12. 06/02 18:26 Mw3.4 H_53km VR69.2
 15. 06/04 00:15 Mw4.0 H_56km VR88.6
 27. 06/05 23:51 Mw4.4 H_65km VR90.9
 28. 06/06 13:48 Mw4.2 H_5km VR91.1
 33. 06/07 23:46 Mw4.0 H360km VR75.6
 34. 06/08 02:16 Mw3.6 H_26km VR79.1

35. 06/08 18:58 Mw3.8 H_62km VR62.0
 36. 06/10 09:40 Mw4.0 H_29km VR83.5
 37. 06/10 23:19 Mw3.5 H_44km VR71.1
 38. 06/11 03:14 Mw4.0 H113km VR90.8
 40. 06/11 06:02 Mw3.6 H_5km VR83.7
 42. 06/11 19:44 Mw3.7 H_44km VR78.2
 46. 06/12 12:49 Mw4.9 H_8km VR89.6
 48. 06/13 15:18 Mw4.2 H_68km VR88.0
 49. 06/14 19:46 Mw5.0 H_41km VR93.4
 58. 06/18 03:30 Mw3.6 H_44km VR82.9
 62. 06/18 23:44 Mw3.4 H_5km VR81.0

68. 06/19 16:37 Mw4.5 H_11km VR87.9
 71. 06/20 09:45 Mw3.9 H_50km VR80.3
 73. 06/21 03:09 Mw4.4 H400km VR61.7
 83. 06/22 04:13 Mw3.6 H_65km VR66.1
 152. 06/25 13:51 Mw4.1 H_59km VR89.8
 156. 06/25 18:08 Mw4.5 H_5km VR91.4
 160. 06/26 16:29 Mw3.6 H_44km VR74.8
 162. 06/27 08:56 Mw4.3 H_62km VR95.0
 192. 06/30 13:32 Mw4.3 H360km VR91.1

Kinki-Chugoku-Shikoku

Jun 01,2025-Jun 30,2025(JST)



F-net, NIED



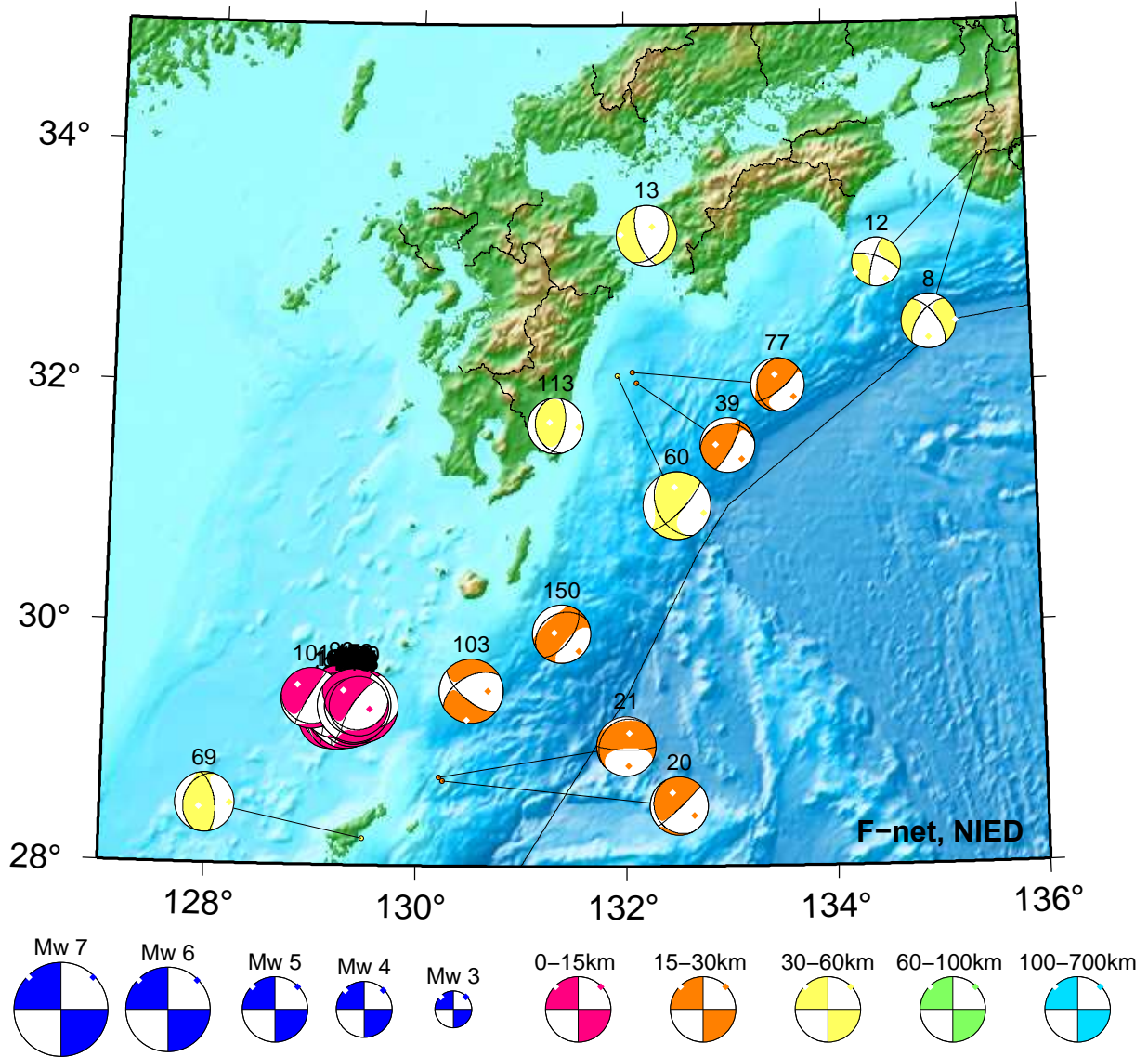
8. 06/02 08:50 Mw3.9 H_53km VR87.2
 12. 06/02 18:26 Mw3.4 H_53km VR69.2
 13. 06/03 20:17 Mw4.3 H_44km VR91.0
 28. 06/06 13:48 Mw4.2 H_5km VR91.1

33. 06/07 23:46 Mw4.0 H360km VR75.6
 39. 06/11 04:48 Mw3.9 H_20km VR65.7
 60. 06/18 21:30 Mw4.8 H_32km VR72.4
 77. 06/21 19:27 Mw3.8 H_20km VR72.7

113. 06/23 02:07 Mw3.9 H_50km VR76.0
 170. 06/29 09:59 Mw3.9 H_11km VR97.3

Kyushu

Jun 01,2025-Jun 30,2025(JST)



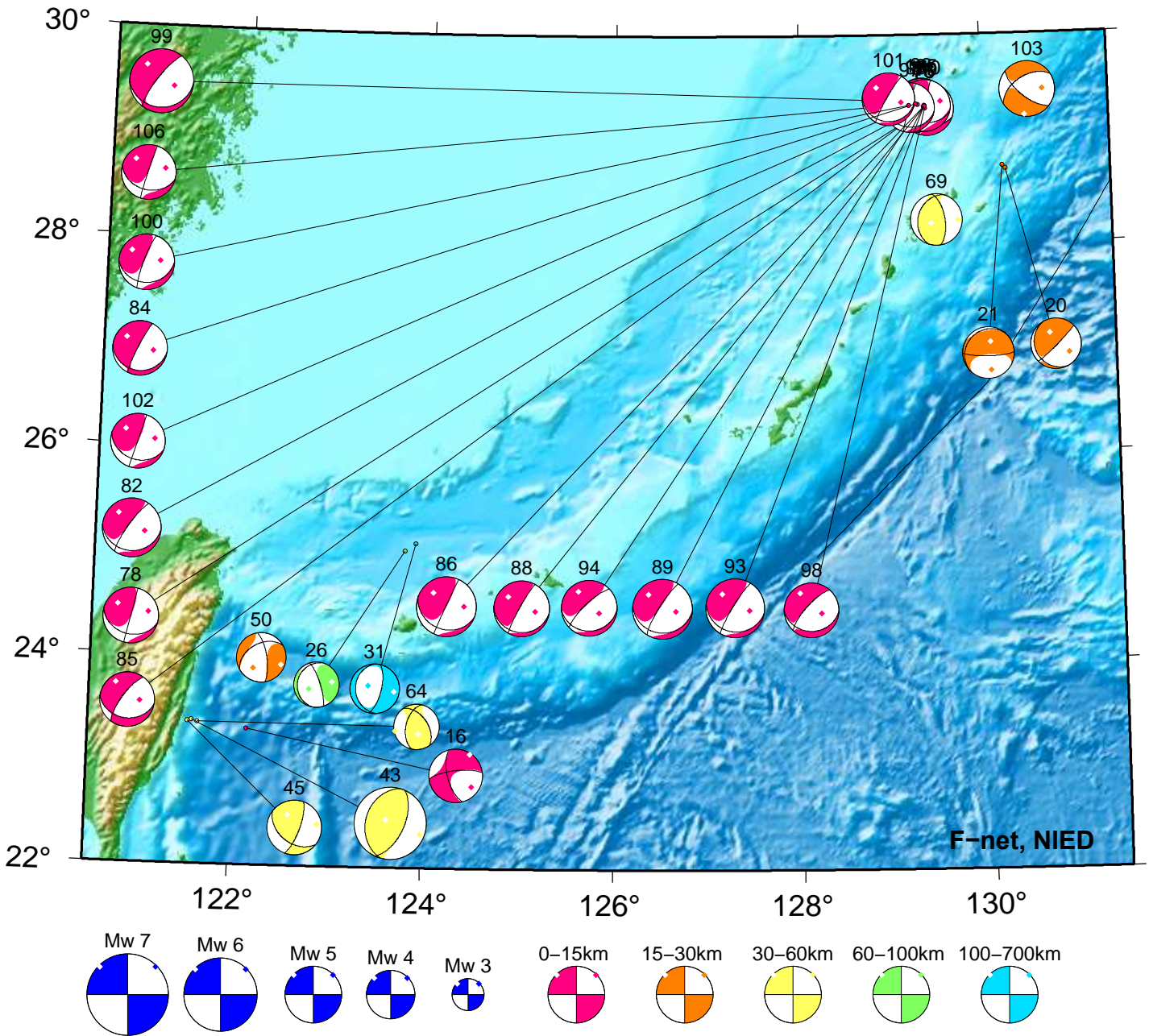
※トカラ列島付近の震源域の活動については、メカニズム解を震源域の外に引き出していない。別資料を参照のこと。

8. 06/02 08:50 Mw3.9 H_53km VR87.2	100. 06/22 17:29 Mw4.5 H_5km VR88.3	133. 06/23 22:45 Mw4.2 H_5km VR86.8
12. 06/02 18:26 Mw3.4 H_53km VR69.2	101. 06/22 17:45 Mw4.3 H_5km VR67.0	134. 06/23 23:17 Mw4.5 H_5km VR90.7
13. 06/03 20:17 Mw4.3 H_44km VR91.0	102. 06/22 17:57 Mw4.5 H_5km VR87.9	135. 06/23 23:36 Mw5.2 H_5km VR89.3
20. 06/05 01:44 Mw4.1 H_23km VR71.2	103. 06/22 18:11 Mw4.5 H_29km VR69.7	136. 06/23 23:46 Mw4.3 H_5km VR62.7
21. 06/05 01:49 Mw4.2 H_29km VR77.1	105. 06/22 19:51 Mw4.0 H_5km VR75.7	137. 06/24 00:08 Mw4.3 H_5km VR88.6
39. 06/11 04:48 Mw3.9 H_20km VR65.7	106. 06/22 20:08 Mw4.5 H_5km VR86.0	138. 06/24 02:23 Mw5.2 H_5km VR93.1
60. 06/18 21:30 Mw4.8 H_32km VR72.4	110. 06/23 00:00 Mw4.1 H_5km VR93.7	141. 06/24 08:40 Mw4.2 H_5km VR79.7
69. 06/19 17:45 Mw4.2 H_41km VR78.8	111. 06/23 00:15 Mw4.3 H_5km VR85.3	142. 06/24 16:04 Mw5.2 H_5km VR89.9
75. 06/21 09:56 Mw3.7 H_8km VR86.2	112. 06/23 00:22 Mw4.0 H_5km VR90.3	143. 06/24 16:54 Mw4.7 H_5km VR88.0
76. 06/21 10:33 Mw3.7 H_11km VR87.9	113. 06/23 02:07 Mw3.9 H_50km VR76.0	144. 06/24 22:03 Mw4.2 H_5km VR89.6
77. 06/21 19:27 Mw3.8 H_20km VR72.7	114. 06/23 02:34 Mw4.2 H_5km VR80.8	145. 06/25 00:11 Mw4.0 H_8km VR92.5
78. 06/21 23:10 Mw4.5 H_5km VR90.0	116. 06/23 03:32 Mw4.8 H_5km VR92.5	146. 06/25 00:40 Mw4.0 H_5km VR88.8
79. 06/21 23:31 Mw4.3 H_8km VR90.9	117. 06/23 05:41 Mw4.3 H_5km VR88.7	149. 06/25 05:49 Mw4.0 H_5km VR82.5
81. 06/22 02:19 Mw4.0 H_8km VR93.1	118. 06/23 06:06 Mw4.3 H_5km VR91.5	150. 06/25 09:45 Mw4.1 H_20km VR72.8
82. 06/22 02:52 Mw4.7 H_5km VR91.2	119. 06/23 06:22 Mw4.5 H_5km VR91.3	151. 06/25 13:14 Mw3.9 H_8km VR91.1
84. 06/22 05:24 Mw4.5 H_5km VR68.4	120. 06/23 09:06 Mw4.2 H_5km VR68.9	154. 06/25 14:47 Mw4.7 H_5km VR92.8
85. 06/22 05:25 Mw4.5 H_5km VR70.5	121. 06/23 10:13 Mw4.9 H_5km VR90.8	155. 06/25 14:59 Mw4.2 H_5km VR93.2
86. 06/22 05:53 Mw4.9 H_5km VR93.0	122. 06/23 11:07 Mw4.2 H_5km VR72.3	157. 06/25 19:39 Mw4.3 H_5km VR80.1
88. 06/22 07:27 Mw4.6 H_5km VR62.4	123. 06/23 11:10 Mw4.1 H_5km VR82.5	158. 06/25 20:34 Mw4.0 H_11km VR63.7
89. 06/22 09:15 Mw4.8 H_5km VR92.8	124. 06/23 12:32 Mw4.5 H_5km VR86.7	159. 06/26 10:48 Mw4.1 H_8km VR89.1
93. 06/22 12:12 Mw4.8 H_5km VR93.2	125. 06/23 13:24 Mw4.2 H_5km VR79.1	163. 06/27 13:17 Mw4.8 H_5km VR87.1
94. 06/22 12:37 Mw4.5 H_8km VR80.7	126. 06/23 13:45 Mw4.4 H_5km VR90.3	165. 06/27 22:52 Mw4.1 H_8km VR89.8
95. 06/22 12:43 Mw4.2 H_5km VR89.1	127. 06/23 16:19 Mw4.5 H_5km VR92.5	166. 06/28 09:15 Mw4.5 H_8km VR88.6
96. 06/22 13:37 Mw4.3 H_5km VR85.5	128. 06/23 16:46 Mw5.0 H_5km VR89.3	167. 06/28 11:12 Mw4.5 H_8km VR88.9
97. 06/22 13:50 Mw4.1 H_5km VR61.1	129. 06/23 17:48 Mw4.2 H_5km VR72.3	168. 06/28 13:54 Mw4.4 H_8km VR87.5
98. 06/22 14:27 Mw4.5 H_5km VR87.9	131. 06/23 19:14 Mw4.0 H_5km VR83.2	
99. 06/22 17:15 Mw5.2 H_5km VR89.0	132. 06/23 22:40 Mw4.3 H_5km VR84.7	

171. 06/29 10:13 Mw4.9 H_ 8km VR60.6 180. 06/29 16:11 Mw5.2 H_ 5km VR86.8 189. 06/30 02:58 Mw4.4 H_ 8km VR91.0
172. 06/29 10:15 Mw5.4 H_ 5km VR86.6 181. 06/29 16:32 Mw4.3 H_ 5km VR79.5 190. 06/30 10:17 Mw4.0 H_ 5km VR85.3
173. 06/29 10:28 Mw4.4 H_ 20km VR64.0 182. 06/29 16:56 Mw4.3 H_ 8km VR90.4 191. 06/30 12:36 Mw4.7 H_ 5km VR91.3
174. 06/29 11:36 Mw4.6 H_ 8km VR90.7 183. 06/29 18:07 Mw4.3 H_ 5km VR86.2 195. 06/30 18:33 Mw5.2 H_ 8km VR83.9
176. 06/29 13:30 Mw4.3 H_ 8km VR85.6 184. 06/29 19:39 Mw4.1 H_ 11km VR89.6 196. 06/30 19:27 Mw4.2 H_ 5km VR89.5
177. 06/29 14:42 Mw4.0 H_ 8km VR60.9 185. 06/29 20:16 Mw4.2 H_ 8km VR86.5 197. 06/30 23:53 Mw3.6 H_ 11km VR77.2
178. 06/29 14:52 Mw4.2 H_ 5km VR83.4 187. 06/29 22:36 Mw4.4 H_ 8km VR85.9
179. 06/29 15:12 Mw4.2 H_ 5km VR85.6 188. 06/30 00:31 Mw4.1 H_ 8km VR84.2

Okinawa

Jun 01, 2025–Jun 22, 2025(JST)

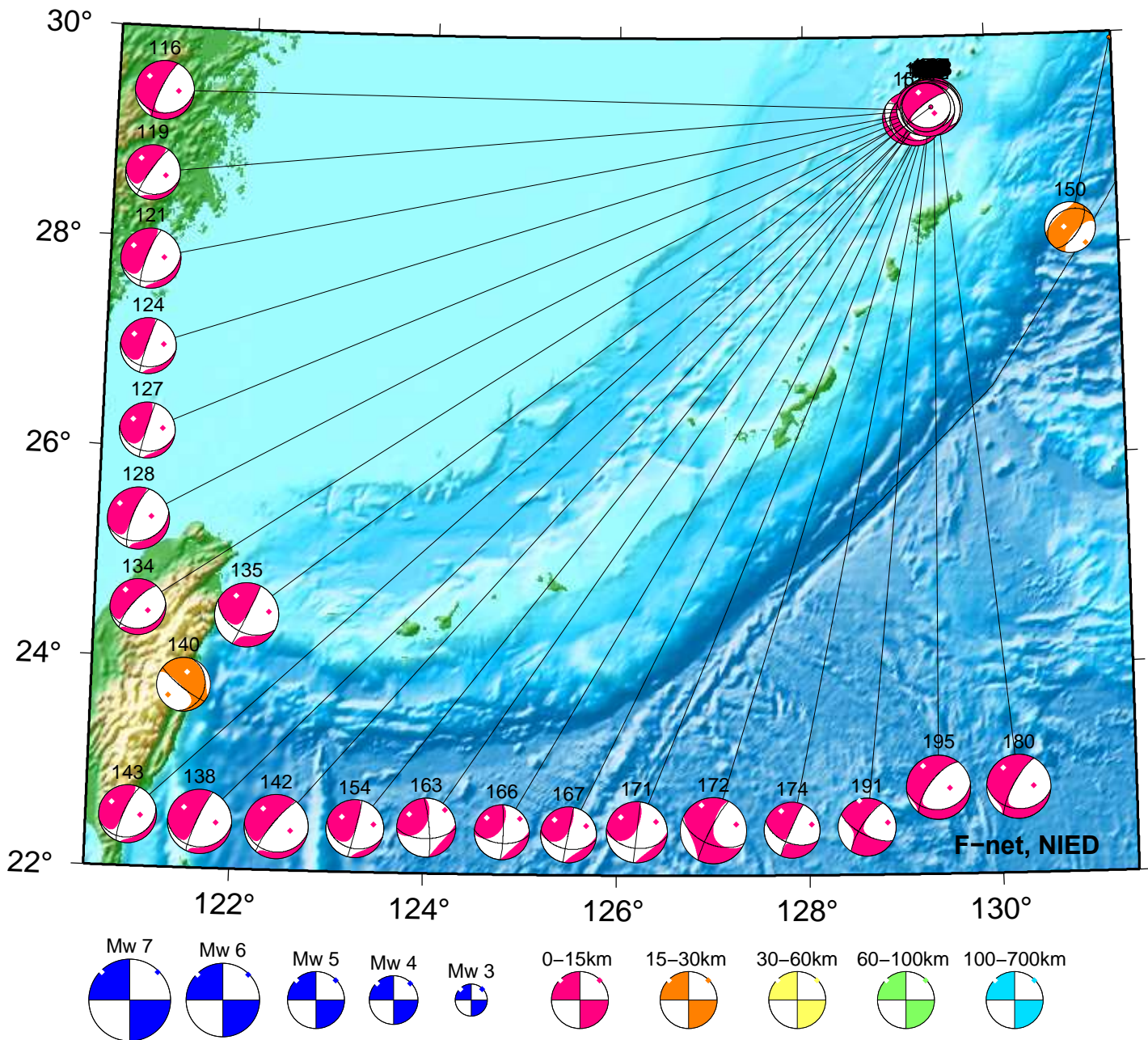


※トカラ列島付近の震源域の活動については、メカニズム解を震源域の外に引き出していない。別資料を参照のこと。

16. 06/04 01:17 Mw4.3 H_8km VR76.0	78. 06/21 23:10 Mw4.5 H_5km VR90.0	96. 06/22 13:37 Mw4.3 H_5km VR85.5
20. 06/05 01:44 Mw4.1 H_23km VR71.2	79. 06/21 23:31 Mw4.3 H_8km VR90.9	97. 06/22 13:50 Mw4.1 H_5km VR61.1
21. 06/05 01:49 Mw4.2 H_29km VR77.1	81. 06/22 02:19 Mw4.0 H_8km VR93.1	98. 06/22 14:27 Mw4.5 H_5km VR87.9
26. 06/05 17:20 Mw3.7 H_83km VR57.3	82. 06/22 02:52 Mw4.7 H_5km VR91.2	99. 06/22 17:15 Mw5.2 H_5km VR89.0
31. 06/07 17:26 Mw4.0 H_125km VR59.4	84. 06/22 05:24 Mw4.5 H_5km VR68.4	100. 06/22 17:29 Mw4.5 H_5km VR88.3
43. 06/11 20:00 Mw5.8 H_44km VR76.0	85. 06/22 05:25 Mw4.5 H_5km VR70.5	101. 06/22 17:45 Mw4.3 H_5km VR67.0
45. 06/12 01:01 Mw4.4 H_41km VR81.6	86. 06/22 05:53 Mw4.9 H_5km VR93.0	102. 06/22 17:57 Mw4.5 H_5km VR87.9
50. 06/16 00:43 Mw4.0 H_23km VR84.0	88. 06/22 07:27 Mw4.6 H_5km VR62.4	103. 06/22 18:11 Mw4.5 H_29km VR69.7
64. 06/19 03:50 Mw3.7 H_47km VR76.8	89. 06/22 09:15 Mw4.8 H_5km VR92.8	105. 06/22 19:51 Mw4.0 H_5km VR75.7
69. 06/19 17:45 Mw4.2 H_41km VR78.8	93. 06/22 12:12 Mw4.8 H_5km VR93.2	106. 06/22 20:08 Mw4.5 H_5km VR86.0
75. 06/21 09:56 Mw3.7 H_8km VR86.2	94. 06/22 12:37 Mw4.5 H_8km VR80.7	110. 06/23 00:00 Mw4.1 H_5km VR93.7
76. 06/21 10:33 Mw3.7 H_11km VR87.9	95. 06/22 12:43 Mw4.2 H_5km VR89.1	

Okinawa

Jun 23,2025-Jun 30,2025(JST)



※トカラ列島付近の震源域の活動については、メカニズム解を震源域の外に引き出していない。別資料を参照のこと。

110. 06/23 00:00 Mw4.1 H_5km VR93.7	136. 06/23 23:46 Mw4.3 H_5km VR62.7	171. 06/29 10:13 Mw4.9 H_8km VR60.6
111. 06/23 00:15 Mw4.3 H_5km VR85.3	137. 06/24 00:08 Mw4.3 H_5km VR88.6	172. 06/29 10:15 Mw5.4 H_5km VR86.6
112. 06/23 00:22 Mw4.0 H_5km VR90.3	138. 06/24 02:23 Mw5.2 H_5km VR93.1	173. 06/29 10:28 Mw4.4 H_20km VR64.0
114. 06/23 02:34 Mw4.2 H_5km VR80.8	140. 06/24 03:00 Mw4.4 H_23km VR73.4	174. 06/29 11:36 Mw4.6 H_8km VR90.7
116. 06/23 03:32 Mw4.8 H_5km VR92.5	141. 06/24 08:40 Mw4.2 H_5km VR79.7	176. 06/29 13:30 Mw4.3 H_8km VR85.6
117. 06/23 05:41 Mw4.3 H_5km VR88.7	142. 06/24 16:04 Mw5.2 H_5km VR89.9	177. 06/29 14:42 Mw4.0 H_8km VR60.9
118. 06/23 06:06 Mw4.3 H_5km VR91.5	143. 06/24 16:54 Mw4.7 H_5km VR88.0	178. 06/29 14:52 Mw4.2 H_5km VR83.4
119. 06/23 06:22 Mw4.5 H_5km VR91.3	144. 06/24 22:03 Mw4.2 H_5km VR89.6	179. 06/29 15:12 Mw4.2 H_5km VR85.6
120. 06/23 09:06 Mw4.2 H_5km VR68.9	145. 06/25 00:11 Mw4.0 H_8km VR92.5	180. 06/29 16:11 Mw5.2 H_5km VR86.8
121. 06/23 10:13 Mw4.9 H_5km VR90.8	146. 06/25 00:40 Mw4.0 H_5km VR88.8	181. 06/29 16:32 Mw4.3 H_5km VR79.5
122. 06/23 11:07 Mw4.2 H_5km VR72.3	149. 06/25 05:49 Mw4.0 H_5km VR82.5	182. 06/29 16:56 Mw4.3 H_8km VR90.4
123. 06/23 11:10 Mw4.1 H_5km VR82.5	150. 06/25 09:45 Mw4.1 H_20km VR72.8	183. 06/29 18:07 Mw4.3 H_5km VR86.2
124. 06/23 12:32 Mw4.5 H_5km VR86.7	151. 06/25 13:14 Mw3.9 H_8km VR91.1	184. 06/29 19:39 Mw4.1 H_11km VR89.6
125. 06/23 13:24 Mw4.2 H_5km VR79.1	154. 06/25 14:47 Mw4.7 H_5km VR92.8	185. 06/29 20:16 Mw4.2 H_8km VR86.5
126. 06/23 13:45 Mw4.4 H_5km VR90.3	155. 06/25 14:59 Mw4.2 H_5km VR93.2	187. 06/29 22:36 Mw4.4 H_8km VR85.9
127. 06/23 16:19 Mw4.5 H_5km VR92.5	157. 06/25 19:39 Mw4.3 H_5km VR80.1	188. 06/30 00:31 Mw4.1 H_8km VR84.2
128. 06/23 16:46 Mw5.0 H_5km VR89.3	158. 06/25 20:34 Mw4.0 H_11km VR63.7	189. 06/30 02:58 Mw4.4 H_8km VR91.0
129. 06/23 17:48 Mw4.2 H_5km VR72.3	159. 06/26 10:48 Mw4.1 H_8km VR89.1	190. 06/30 10:17 Mw4.0 H_5km VR85.3
131. 06/23 19:14 Mw4.0 H_5km VR83.2	163. 06/27 13:17 Mw4.8 H_5km VR87.1	191. 06/30 12:36 Mw4.7 H_5km VR91.3
132. 06/23 22:40 Mw4.3 H_5km VR84.7	165. 06/27 22:52 Mw4.1 H_8km VR89.8	195. 06/30 18:33 Mw5.2 H_8km VR83.9
133. 06/23 22:45 Mw4.2 H_5km VR86.8	166. 06/28 09:15 Mw4.5 H_8km VR88.6	196. 06/30 19:27 Mw4.2 H_5km VR89.5
134. 06/23 23:17 Mw4.5 H_5km VR90.7	167. 06/28 11:12 Mw4.5 H_8km VR88.9	197. 06/30 23:53 Mw3.6 H_11km VR77.2
135. 06/23 23:36 Mw5.2 H_5km VR89.3	168. 06/28 13:54 Mw4.4 H_8km VR87.5	

紀伊半島・東海地域の深部低周波微動活動状況 (2025年6月)

● 顕著な活動は、とくにみられなかった。

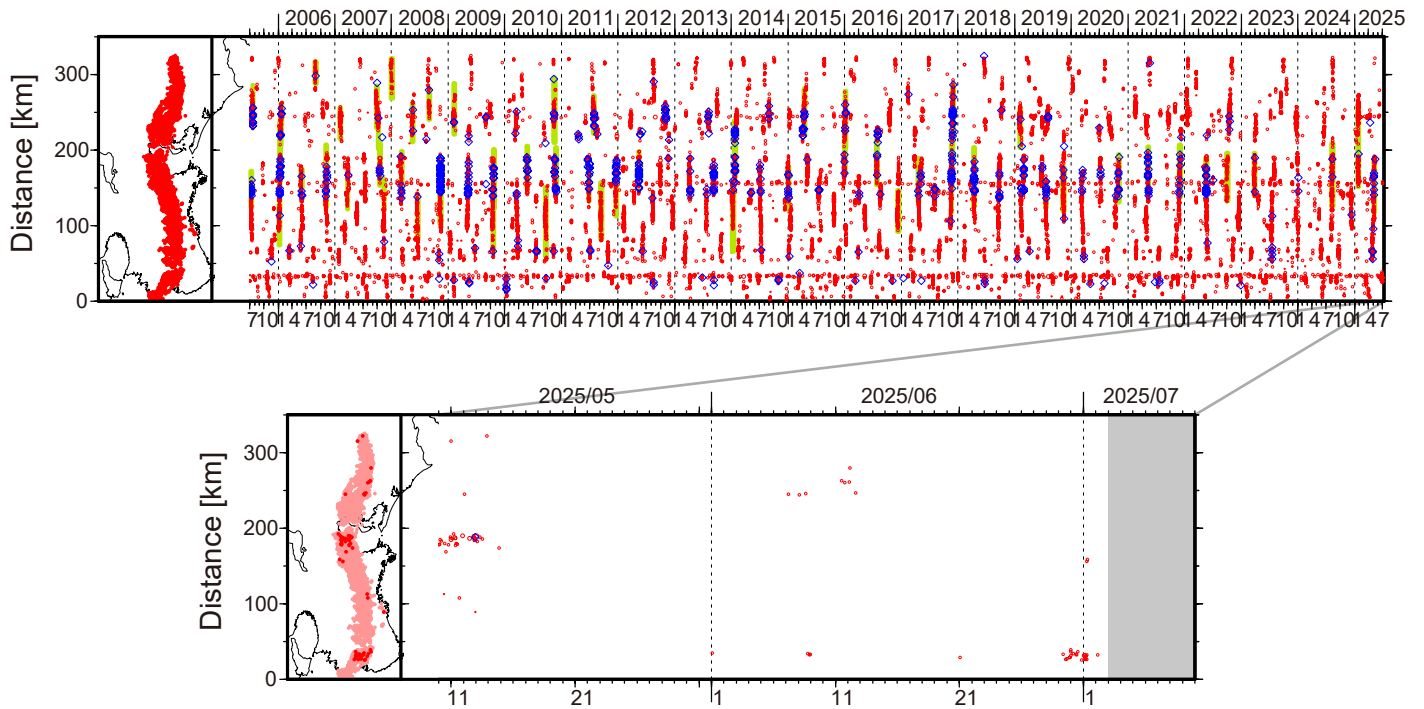


図1. 紀伊半島・東海地域における2005年7月～2025年7月2日までの深部低周波微動の時空間分布(上図). 赤丸はエンベロープ相関・振幅ハイブリッド法(Maeda and Obara, 2009)およびクラスタ処理(Obara et al., 2010)によって1時間毎に自動処理された微動分布の重心である. 青菱形は周期20秒に卓越する超低周波地震(Ito et al., 2007)である. 黄緑色の太線はこれまでに検出された短期的スロースリップイベント(SSE)を示す. 下図は2025年6月を中心とした期間の拡大図である. 6月以降の期間において顕著な活動はとくにみられなかったものの, 6月8日頃には和歌山県中部で, 6月11～12日頃には愛知県東部でそれぞれごく小規模な活動がみられた. 6月29日頃からは和歌山県中部で微動活動が開始している.

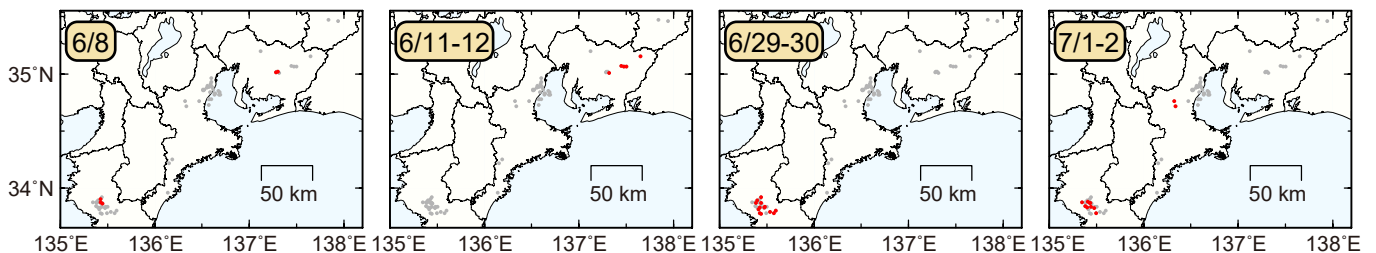


図2. 各期間に発生した微動(赤丸)の分布. 灰丸は, 図1の拡大図で示した期間における微動分布を示す.

- 四国西部から中部において、6月9日頃より微動活動が開始。

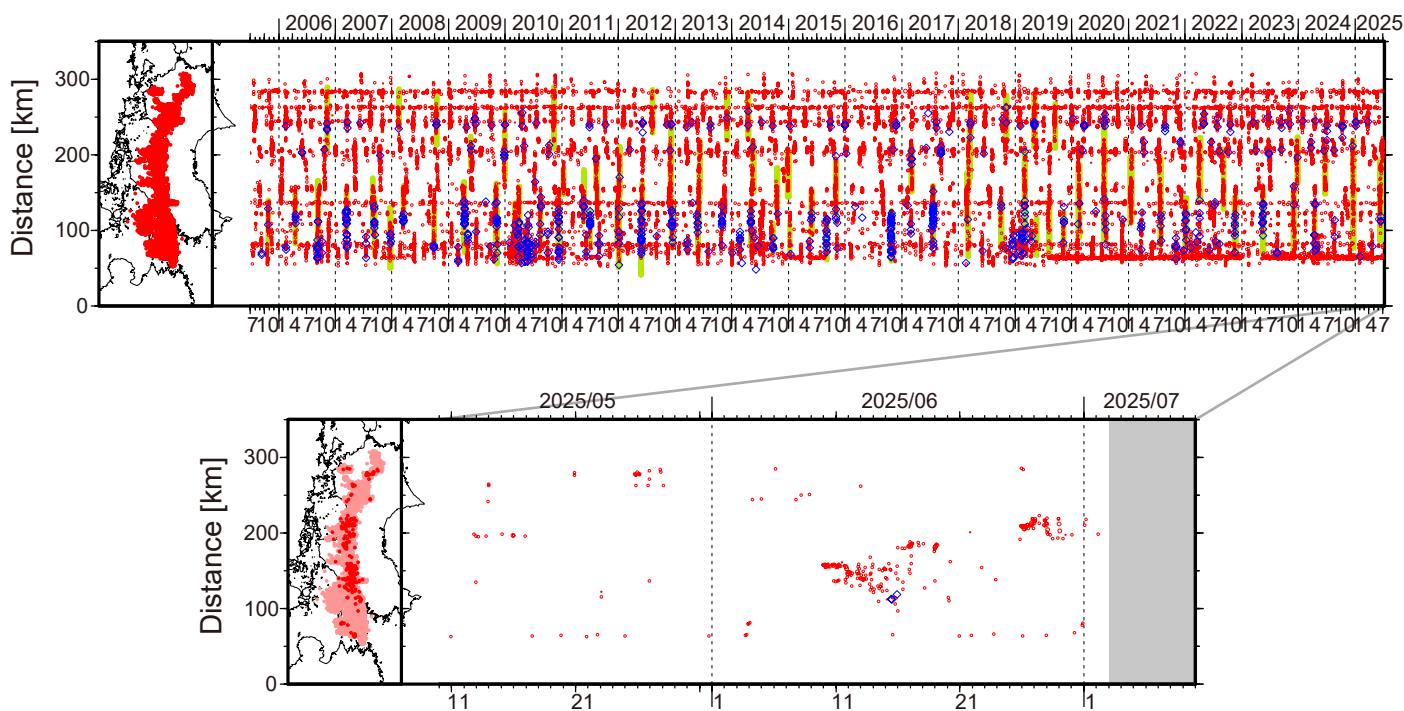


図1. 四国における2005年7月～2025年7月2日までの深部低周波微動の時空間分布(上図). 赤丸はエンベロップ相関・振幅ハイブリッド法 (Maeda and Obara, 2009) およびクラスタ処理 (Obara et al., 2010) によって1時間毎に自動処理された微動分布の重心である. 青菱形は周期20秒に卓越する超低周波地震 (Ito et al., 2007) である. 黄緑色太線は、これまでに検出された短期的スロースリップイベント (SSE) を示す. 下図は2025年6月を中心とした期間の拡大図である. 愛媛県西部から東部において、6月9日頃から活発な微動活動がみられる. この活動は愛媛県中部で開始し、西方向への活動域の拡大が15日頃までみられた. その後東側で活動がみられ、20日頃からはいったん活動は低調となった. 6月25日頃からは愛媛県東部において活動が活発化し、6月30日頃からは活動は低調になりつつも活動が継続している. この活動に際し、傾斜変動から短期的SSEの断層モデルも推定されている.

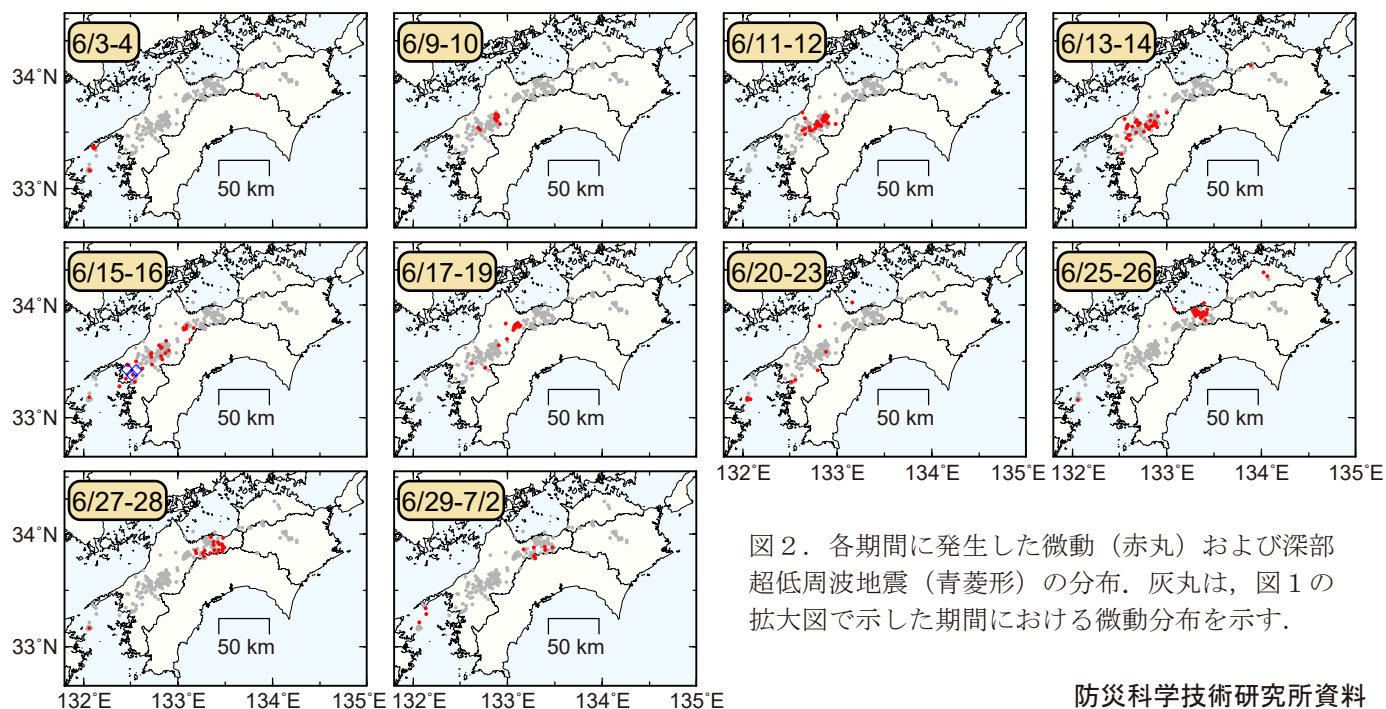
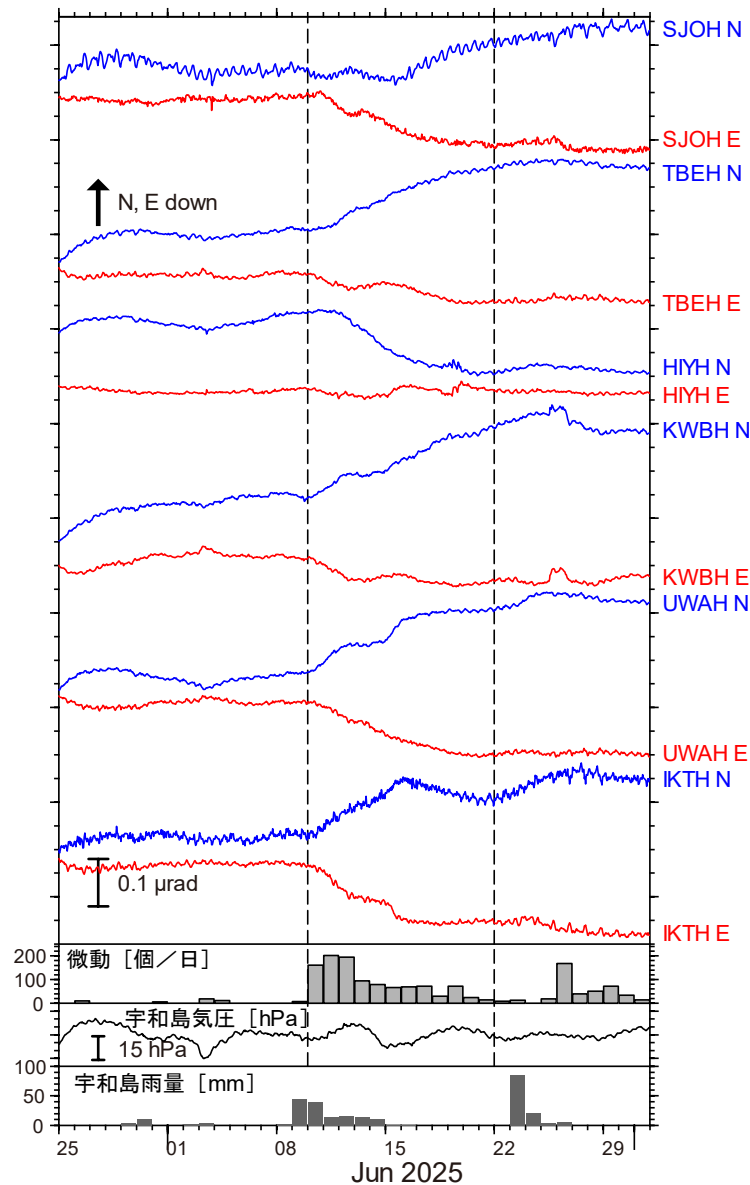


図2. 各期間に発生した微動(赤丸)および深部超低周波地震(青菱形)の分布. 灰丸は、図1の拡大図で示した期間における微動分布を示す.

四国西部の短期的スロースリップ活動状況 (2025年6月)



・ 四国西部を活動域とするスロースリップイベント (MW6.3)
 ・ 2024年12月 (MW6.2) 以来約6ヶ月ぶり

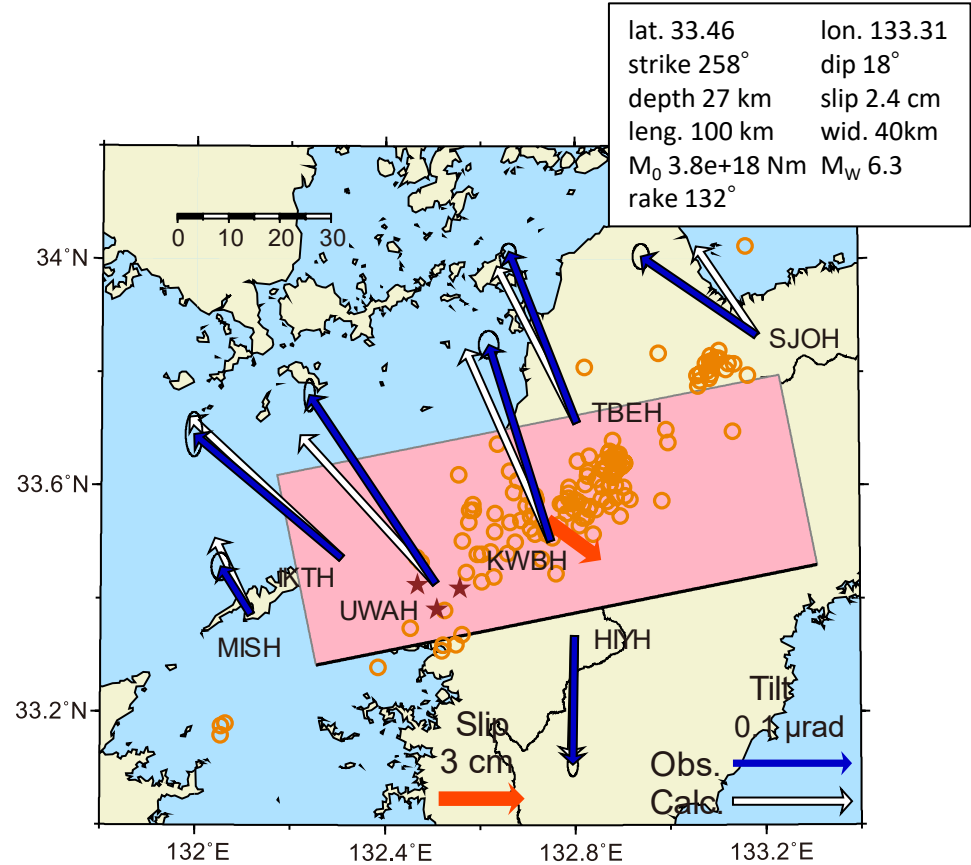


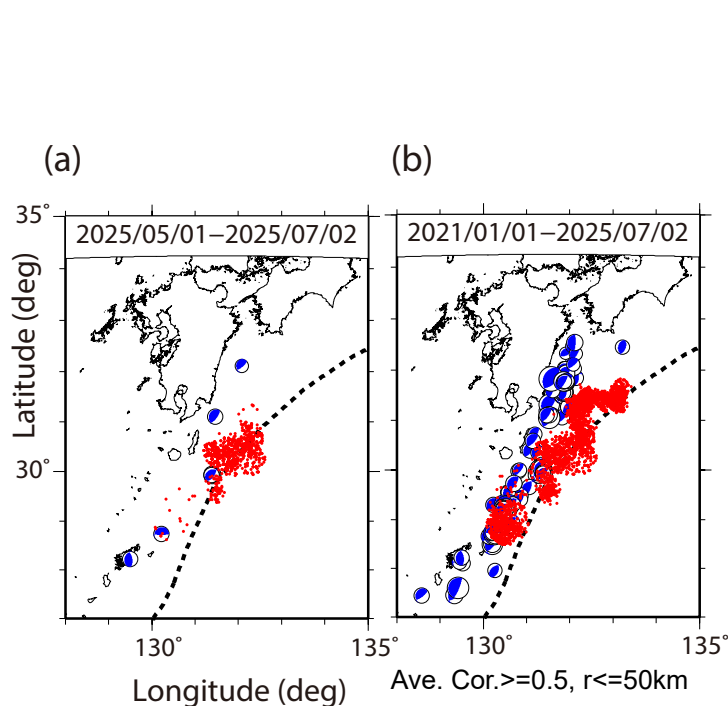
図2：6月10日～21日に観測された傾斜変化ベクトル（青矢印）、推定されたスロースリップイベントの断層モデル（赤矩形・矢印）、モデルから計算される傾斜変化ベクトル（白抜き矢印）を示す。1時間毎の微動エネルギーの重心位置（橙丸）、深部超低周波地震（茶星印）も合わせて示す。すべり角はプレート相対運動方向に固定している。

謝辞
 気象庁のWebページで公開されている気象データを使用させていただきました。記して感謝いたします。

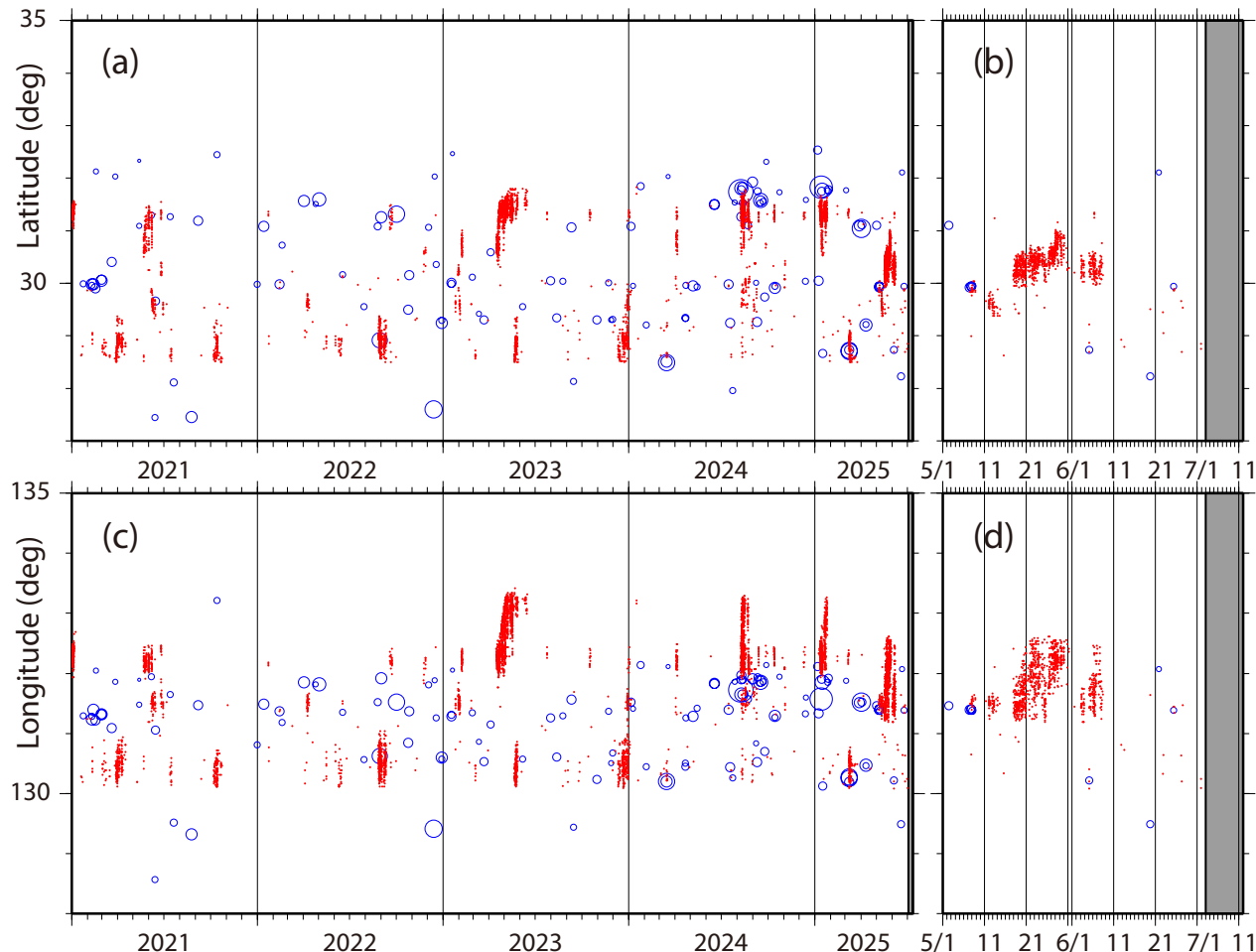
18 防災科学技術研究所資料

日向灘及びその周辺域における超低周波地震活動（2025年5-6月）

- 防災科研F-net記録の波形相関解析によって既知の地震・超低周波地震の類似イベントを検出
- 5月上旬、中旬に種子島の南東で超低周波地震、数日の休止の後に種子島の東で活動は活発化して北東方向に移動・拡大、6月上旬には活動は収束



第1図. 波形相関解析 [Asano et al. (2015)] によって検出された超低周波イベントの震央分布. (a) 2025年5月1日から7月2日, (b) 2021年1月1日から2025年7月2日の期間内における検出イベントを防災科研の手動または自動検測震源と照合して通常地震を除去した後、それ以外を超低周波イベントとして赤色点でそれぞれ示す. 防災科研F-netによるMT解のうち、プレート間タイプのものを併せて示す.



第2図. 第1図と同じ期間内に検出された超低周波イベントの時空間分布. 超低周波イベントを赤色の点で示す. (a)および(b)に緯度分布の, (c)および(d)に経度分布の時間変化をそれぞれ示す. また, (a)および(c)に2021年1月1日以降, (b)および(d)には2025年5月1日以降の分布をそれぞれ示す. 青丸印は第1図にMT解を示したイベントを表す.

山口県北部の地震活動に伴う傾斜変動

2025/03/26

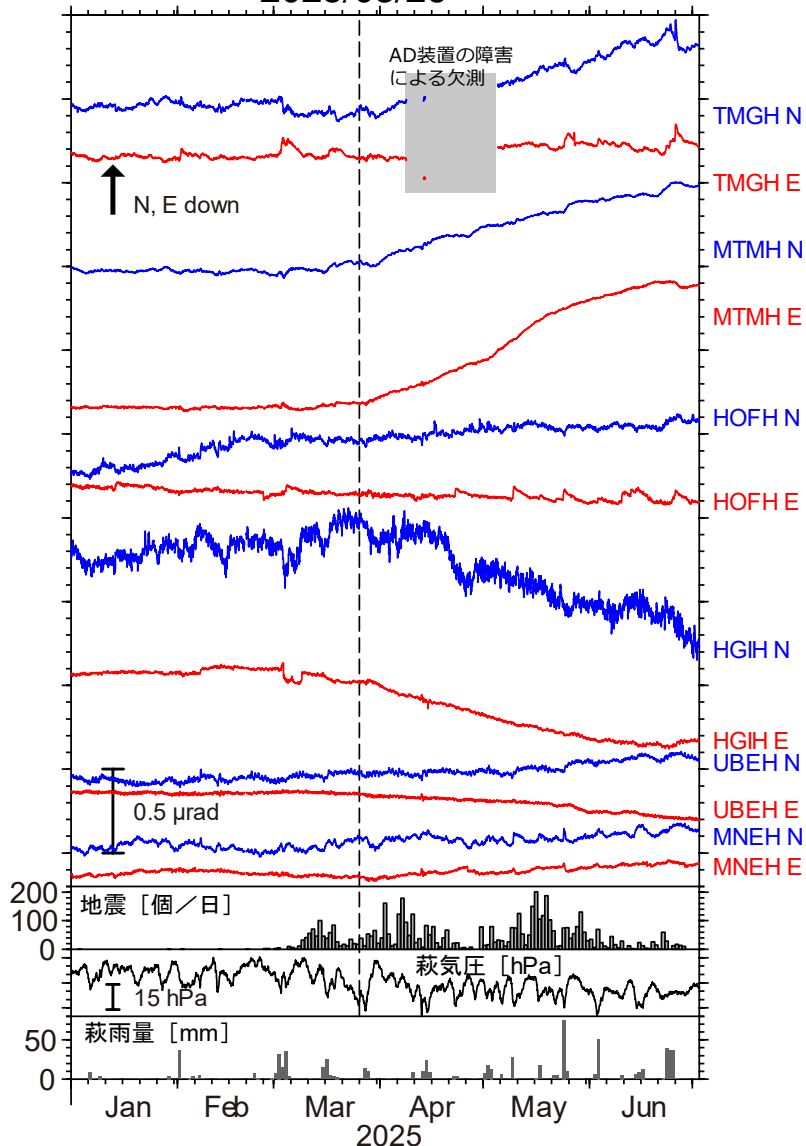


図1: 2025年1月1日～7月2日の傾斜時系列。上方への変化が北・東下がり傾斜変動を表し、BAYTAP-Gにより潮汐応答成分を除去した。3月26日～7月2日の傾斜変化ベクトルを図2に示す。図2の矩形領域内(深さ10～50km)での地震活動度、気象庁観測点の気圧・雨量を合わせて示す。

- 山口県北部における活発な地震活動域の周辺の防災科研Hi-net観測点で、2025年3月下旬頃から傾斜変化を観測。
- Hi-netむつみ観測点 (MTMH) で北東方向に約0.87 μ radianの変化

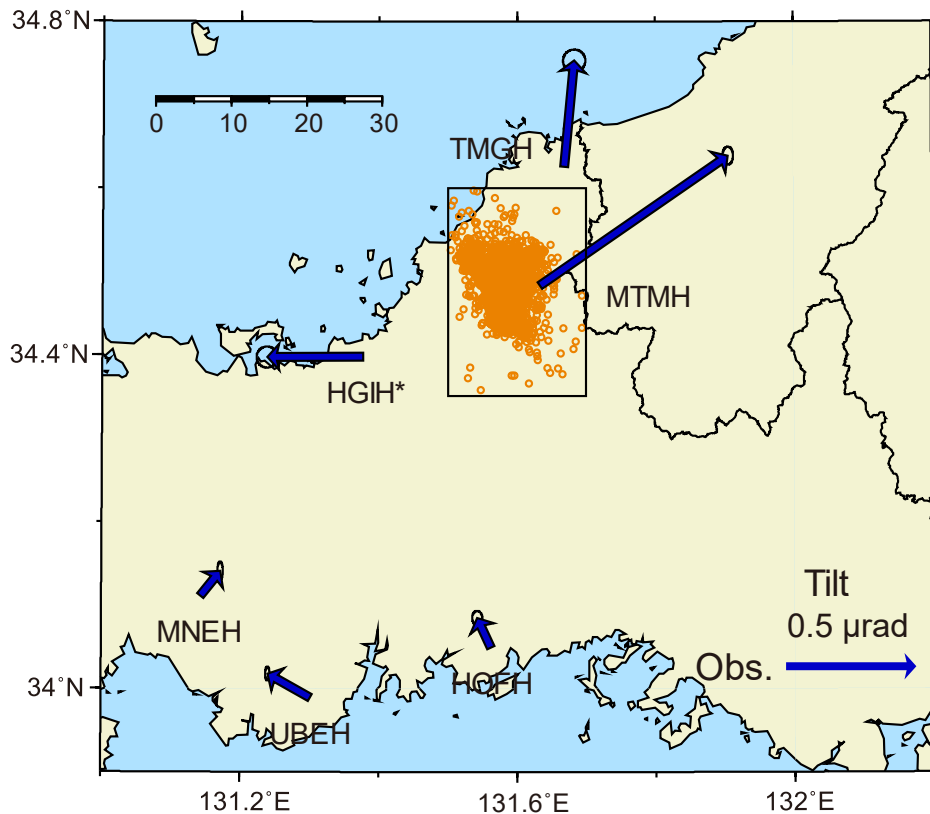


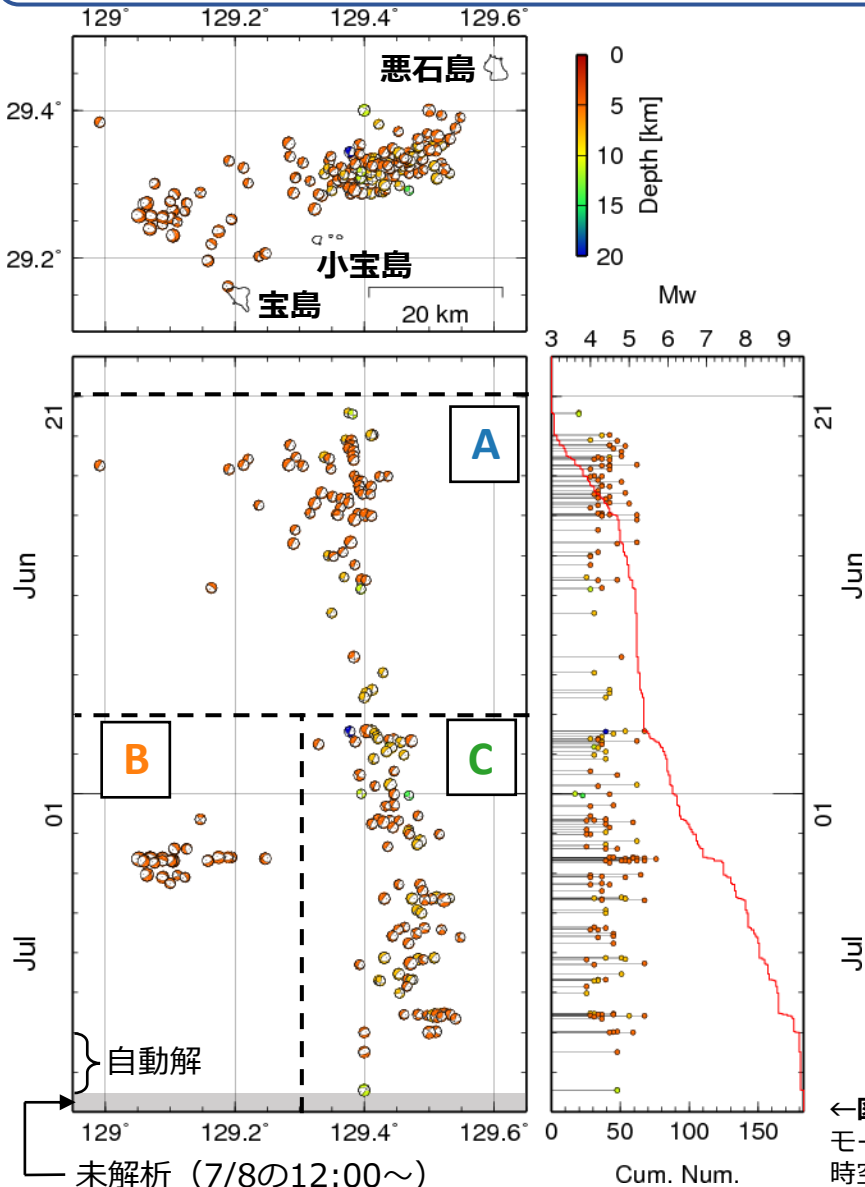
図2: 2025年3月26日～7月2日に観測された傾斜変化ベクトル(青矢印)。1月1日～7月2日のHi-netによる震央分布(矩形領域内、深さ10～50km)を橙丸で示す。

*Hi-net萩(HGIH)観測点のNS成分の変化はゼロとして表示している。

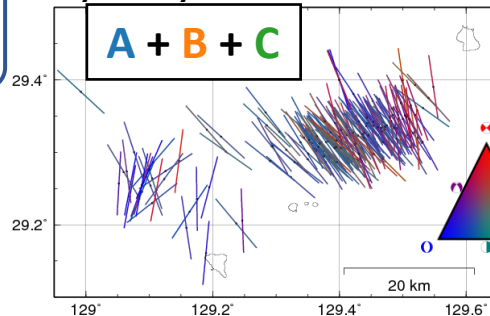
謝辞
気象庁のWEBページで公開されている気象データを使用させていただきました。記して感謝いたします。

令和7年トカラ列島近海の地震 (F-netによるメカニズム解)

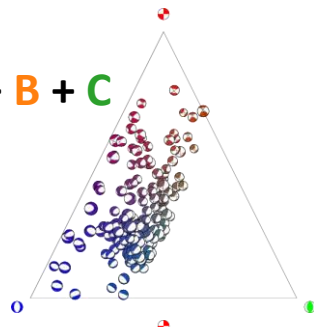
- 東側の活動では北西-南東方向に伸張軸, 西側ではおおよそ南北方向に伸張軸を持つ地震が多く発生
- ダブルカップルから外れた地震が多く, 複雑な断層構造や流体の寄与等を反映している可能性



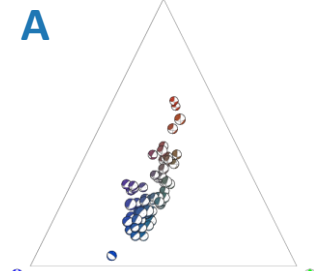
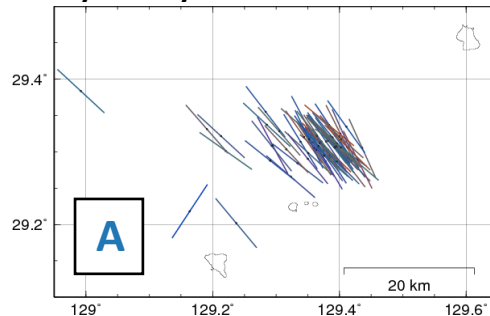
6/21-7/8 12:00



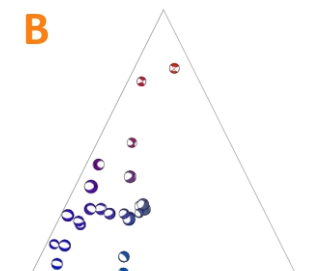
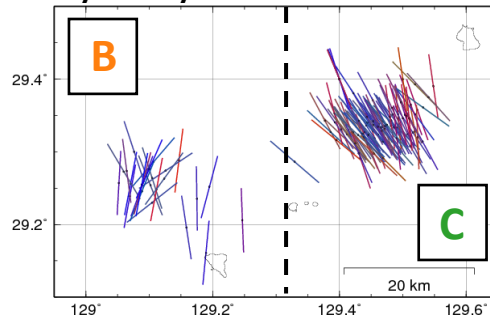
A + B + C



6/21-6/28

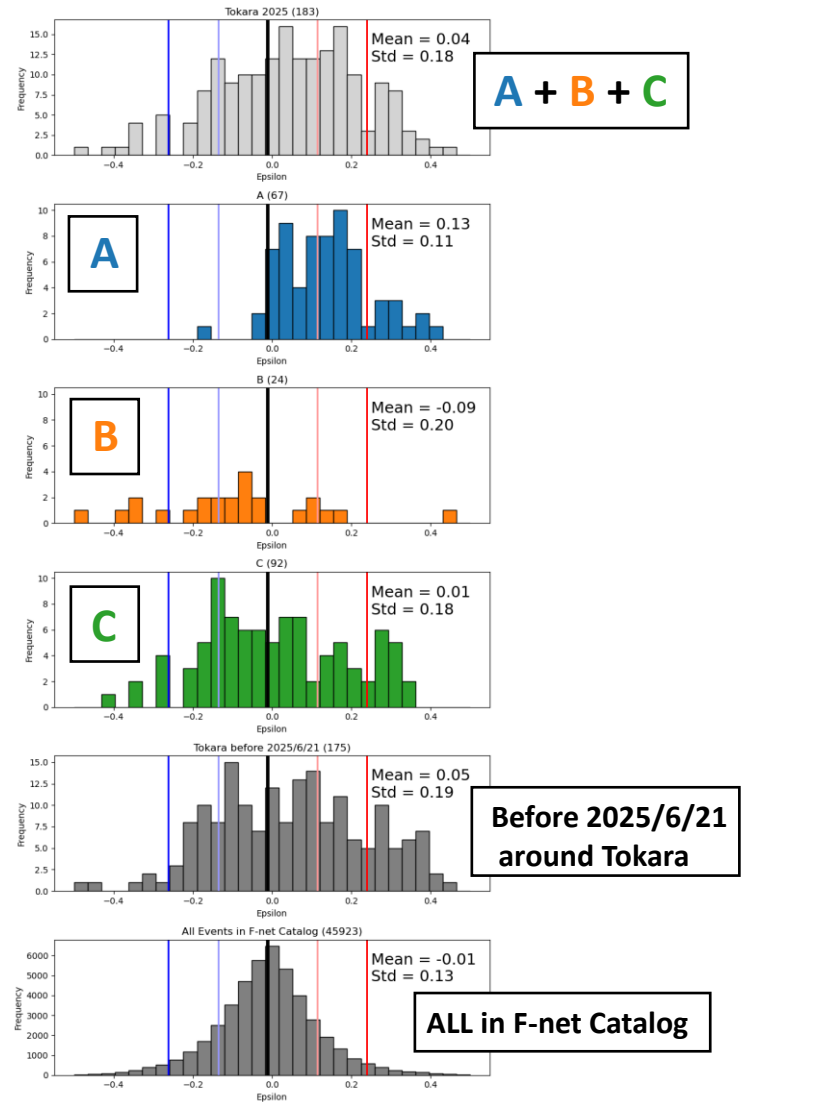
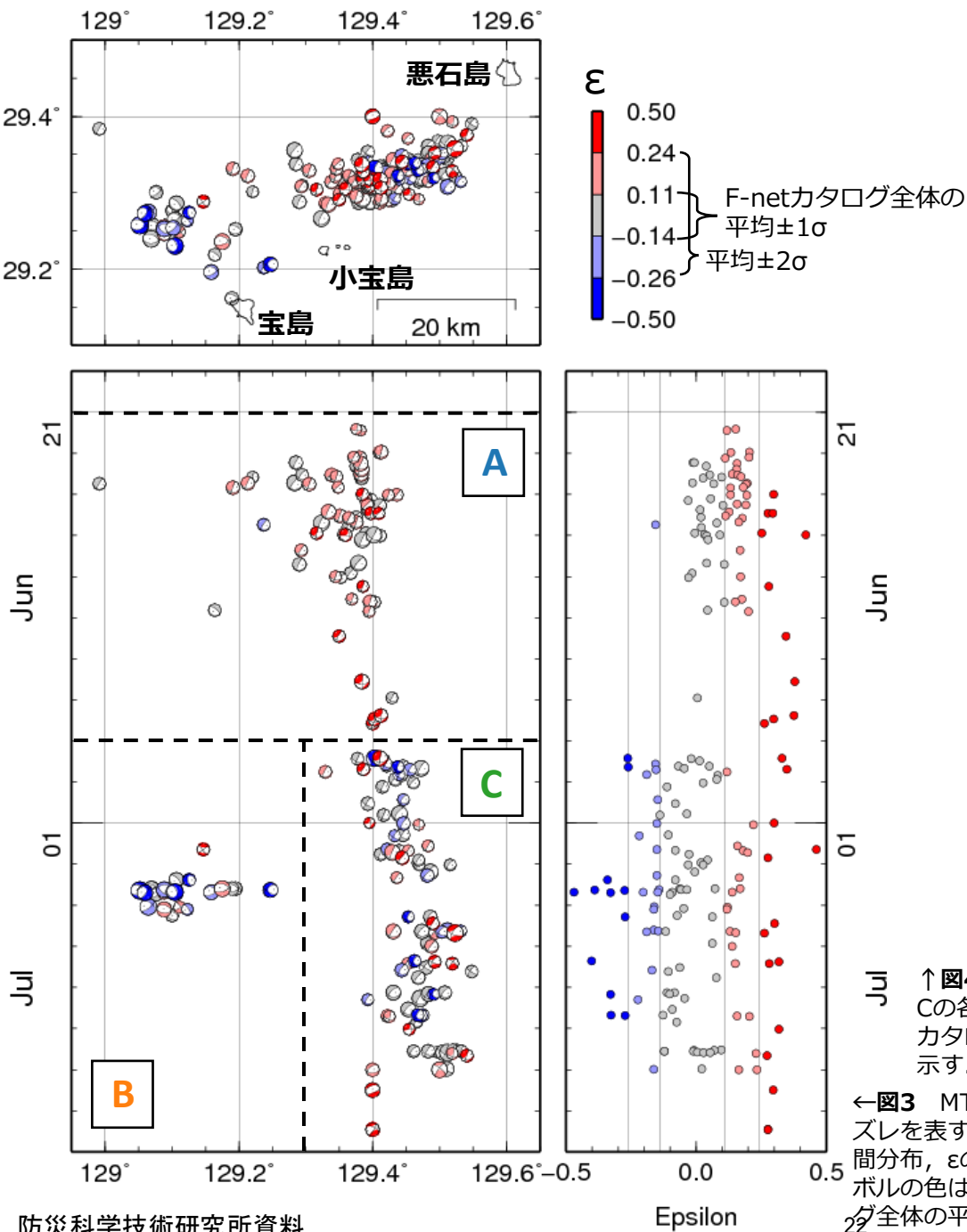


6/29-7/8 12:00



↑図2 (左) T軸の方位分布. (右) Frohlich [1992]によるMT解の分類. 図1左下図で示した全体とA~Cの範囲の地震について示す.

←図1 2025年6月20日以降のトカラ列島近海におけるモーメントテンソル (MT) 解分布, M-T図およびN-T図, 時空間分布. 深さ ≤ 20 kmの解を使用. 7/7以降は自動解.



↑ 図4 ϵ の頻度分布. 上から2025年トカラ列島近海の地震全体, A, B, Cの各範囲の地震, トカラ列島近海の2025年6月21日以前の地震, F-netカタログ全体. 縦線はF-netカタログ全体の平均及び $\pm 1\sigma$, $\pm 2\sigma$ の範囲を示す.

← 図3 MT解のダブルカップルからのズレを表す ϵ の分布. MT解分布, 時間空間分布, ϵ の時間変化を示す. 各シンボルの色は ϵ の値であり, F-netカタログ全体の平均からのズレを示す.

※ ϵ はMTの固有値 $\lambda_1 \geq \lambda_2 \geq \lambda_3$ より次の式で計算 $\epsilon = \frac{-\lambda_2}{\max(|\lambda_1|, |\lambda_3|)}$

-0.5~0.5の範囲をとり, 0でダブルカップル型を, -0.5で圧縮力, 0.5で伸張力が卓越するCLVD型を示す. F-netカタログではMTの等方成分はゼロを仮定